

Міністерство освіти і науки України
Національний технічний університет
«Дніпровська політехніка»

Навчально-науковий інститут
електроенергетики

(навчально-науковий інститут)

Факультет інформаційних технологій
(факультет)

Кафедра інформаційних технологій та комп'ютерної інженерії
(повна назва)

ПОЯСНЮВАЛЬНА ЗАПИСКА
кваліфікаційної роботи ступеня магістра

Здобувача вищої освіти Федоренка Данила Олексійовича
(ПІБ)

академічної групи 123М-24-1
(шифр)

спеціальності 123 Комп'ютерна інженерія
(код і назва спеціальності)

за освітньо-професійною програмою «Комп'ютерна інженерія»
(офіційна назва)

на тему «Дослідження методів детекції об'єктів у відеопотоці для виявлення захворень у рослин» (назва за наказом ректора)

Керівники	Прізвище, ініціали	Оцінка за шкалою		Підпис
		рейтинговою	інституційною	
кваліфікаційної роботи	доц. Молодець Б. В.			
розділів:				
синтез системи	доц. Ткаченко С. М.			
розроблення програмного забезпечення	асист. Бешта Л. В.			

Рецензент	проф. Цвіркун Л. І.			
-----------	---------------------	--	--	--

Нормоконтролер				
----------------	--	--	--	--

Дніпро
2025

ЗАТВЕРДЖЕНО:

завідувач кафедри
інформаційних технологій
та комп'ютерної інженерії
(повна назва)

_____ В.В. Гнатушенко
(підпис) (ініціали, прізвище)

« _____ » _____ 2025 року

ЗАВДАННЯ
на кваліфікаційну роботу
ступеня магістра
(бакалавра, магістра)

здобувача вищої освіти Федоренка Д. О. академічної групи 123М-24-1
(прізвище та ініціали) (шифр)

спеціальності 123 Комп'ютерна інженерія

за освітньою-професійною програмою «Комп'ютерна інженерія»
(офіційна назва)

на тему «Дослідження методів детекції об'єктів у відеопотоці для виявлення захворювань у рослин», затверджену наказом ректора НТУ «Дніпровська політехніка» від 13 жовтня 2025 р. №1165-с

Розділ	Зміст	Термін виконання
Стан питання та постановка завдання	Аналіз існуючих підходів до детекції захворювань рослин у відеопотоці. Формулювання мети, об'єкта та завдань дослідження.	11.10.2025
Теоретичний	Обґрунтування методів детекції у відеопотоці.	25.10.2025
Синтез системи	Розробка структури комп'ютерної системи детекції захворювань рослин.	15.11.2025
Розроблення програмного забезпечення	Реалізація програмного забезпечення системи детекції захворювань рослин.	29.11.2025
Експериментальний розділ	Проведення експериментів та аналіз результатів роботи системи.	06.12.2025

Завдання видано _____
(підпис керівника)

доц. Б. В. Молодець
(ініціали, прізвище)

Дата видачі 06 вересня 2025 р.

Дата подання до екзаменаційної комісії

25.12.2025 р.

Прийнято до виконання _____
(підпис здобувача вищої освіти)

Д. О. Федоренко
(ініціали, прізвище)

РЕФЕРАТ

Пояснювальна записка 91 с., 14 рис., 14 табл., 1 дод., 20 джерел.

ВІДЕОПОТІК, КОМП'ЮТЕРНИЙ ЗІР, ГЛИБИННЕ НАВЧАННЯ, YOLOv8, ДЕТЕКЦІЯ ОБ'ЄКТІВ, ЗАХВОРЮВАННЯ РОСЛИН, АНАЛІЗ ВІДЕОДАНИХ.

Об'єкт розробки — комп'ютерна система автоматичної детекції захворювань рослин у відеопотоці.

Мета роботи — теоретичне й практичне обґрунтування методів детекції уражених ділянок рослин у відеопотоці та розробка прототипу програмної системи на основі глибинних нейронних мереж, здатної здійснювати аналіз відеоданих у режимі, близькому до реального часу, з візуалізацією результатів і формуванням аналітичних звітів.

Методи дослідження — методи комп'ютерного зору та глибинного навчання, згорткові нейронні мережі, алгоритми детекції об'єктів сімейства YOLO, методи експериментального аналізу якості моделей (precision, recall, mAP), статистичний аналіз результатів експериментів, програмна реалізація з використанням Python, OpenCV та бібліотеки Ultralytics.

У роботі проведено аналіз сучасних підходів до автоматичного виявлення захворювань рослин за зображеннями та відеопотоками, визначено їх переваги й обмеження. Обґрунтовано доцільність використання одноетапного детектора YOLOv8 для задач відеомоніторингу з урахуванням вимог до швидкодії та точності. Сформульовано постановку задачі дослідження та визначено вимоги до розроблюваної системи.

У теоретичному розділі розглянуто узагальнену модель системи автоматичного виявлення захворювань у рослин у відеопотоці, описано етапи обробки даних від захоплення відео до формування агрегованих показників. Виконано обґрунтування вибору метрик якості та методів експериментальних досліджень.

У розділі «Проектування системи» сформульовано технічні вимоги, розроблено структурну схему системи та описано логіку взаємодії основних модулів: відеозахоплення, детекції, візуалізації та формування звітів.

У розділі «Розробка програмного забезпечення» описано реалізацію програмної системи детекції захворювань рослин на основі YOLOv8, наведено структуру програмних модулів, сценарії використання та принципи конфігурації системи.

В експериментальному розділі визначено мету та завдання експериментів, описано підготовку датасету, проведено навчання та тестування моделі, виконано оцінку точності, чутливості й швидкодії системи при роботі з відеопотоком. Проаналізовано отримані результати та їх відповідність поставленим вимогам. Практична цінність отриманих результатів полягає у можливості використання розробленої системи для автоматизованого відеомоніторингу стану рослин у теплицях, на експериментальних ділянках та в навчальному процесі, а також як основи для подальшого розвитку систем підтримки прийняття рішень в аграрній сфері.

ЗМІСТ

Перелік умовних позначень	7
Вступ	8
1 Стан питання та постановка завдання	12
1.1 Стан дослідженості проблеми автоматичного виявлення захворювань у рослин.....	12
1.2 Аналіз існуючих методів детекції об'єктів у зображеннях та відеопотоці	14
1.3 Проблеми та обмеження сучасних систем виявлення захворювань у рослин	16
1.4 Постановка завдання дослідження.....	17
2 Теоретичний розділ	19
2.1 Загальна характеристика комп'ютерної системи відеомоніторингу стану рослин.....	19
2.2 Структура об'єкта дослідження (рослинні об'єкти, типи захворювань, сцена спостереження).....	20
2.3 Обґрунтування і вибір методів детекції об'єктів у відеопотоці	21
2.3.1 Формалізація задачі детекції уражених ділянок на рослинах	22
2.3.2 Порівняльний аналіз архітектур алгоритмів детекції (YOLOv8 та альтернативи).....	24
2.3.3 Узагальнена модель системи автоматичного виявлення захворювань у відеопотоці	26
2.3.4. Схема обробки даних: від відеопотоку до карти ураження рослин.....	27
2.4 Обґрунтування і вибір метрик якості та методів експериментальних досліджень	28
3 Синтез системи детекції захворювань у рослин у відеопотоці	32
3.1 Цілі впровадження системи відеомоніторингу стану рослин	32
3.2 Формулювання технічних вимог до системи детекції	33
3.2.1 Вимоги до відеоданих (камери, роздільна здатність, частота кадрів)	34
3.2.2 Вимоги до функцій, що виконуються системою (онлайн/офлайн аналіз, візуалізація, звітність).....	35
3.2.3 Вимоги до інформаційного, програмного та технічного забезпечення....	36
3.2.4 Вимоги до зберігання даних та захисту інформації	37
3.2.5 Вимоги до ергономіки та зручності використання системи.....	38
3.2.6 Розробка схеми функціональної структури системи детекції	39

3.3	Вибір та обґрунтування застосування апаратних засобів	40
3.4	Синтез структурної схеми системи детекції за заданими показниками.....	42
4	Розробка програмного забезпечення системи детекції захворювань у рослин ...	45
4.1	Призначення й область застосування програмного забезпечення	45
4.2	Обґрунтування вибору програмних засобів та бібліотек (Python, OpenCV, Ultralytics YOLO тощо).....	46
4.3	Опис розробленої програми	48
4.3.1	Загальні відомості про архітектуру програмного забезпечення	50
4.3.2	Функціональне призначення основних модулів	53
4.3.3	Опис логічної структури програми та алгоритмів обробки відеопотоку .	54
4.3.4	Інтерфейс користувача та сценарії використання програмного забезпечення	56
4.3.5	Використані технічні та програмні засоби для розробки і тестування	59
4.4	Очікувані техніко-економічні та експлуатаційні показники роботи системи	64
5	Експериментальний розділ	68
5.1	Мета і завдання експерименту	68
5.2	Формування навчальної, валідаційної та тестової вибірок (кадри, анотації, структура датасету)	69
5.3	Методика проведення експериментальних досліджень	71
5.4	Результати експерименту.....	72
	Висновки	76
	Список використаних джерел	80
	Додаток А	82
A.1	Файл config.py.....	82
A.2	Файл report_utils.py	83
A.3	Сервіс формування звітів	85
A.4	Скрипт навчання власної моделі YOLO	90
A.5	Конфігураційний файл датасету	91
A.6	Перелік програмних залежностей Python.....	91
A.7	Сценарій запуску програми у середовищі Windows.....	91

ПЕРЕЛІК УМОВНИХ ПОЗНАЧЕНЬ

AI (Artificial Intelligence) — штучний інтелект

CNN (Convolutional Neural Network) — згорткова нейронна мережа

CV (Computer Vision) — комп'ютерний зір

DL (Deep Learning) — глибинне навчання

FPS (Frames Per Second) — кількість кадрів за секунду

IoT (Internet of Things) — Інтернет речей

IoU (Intersection over Union) — міра перекриття прогнозованої та еталонної обмежувальних рамок

mAP (mean Average Precision) — середня точність детекції

RGB — колірна модель «червоний–зелений–синій»

SVM (Support Vector Machine) — метод опорних векторів

YOLO (You Only Look Once) — сімейство одноетапних алгоритмів детекції об'єктів

SSD (Single Shot Detector) — одноетапний детектор об'єктів

R-CNN (Region-based Convolutional Neural Network) — двоетапний детектор об'єктів

FPN (Feature Pyramid Network) — мережа піраміди ознак

PAN (Path Aggregation Network) — мережа агрегації шляхів

NDVI (Normalized Difference Vegetation Index) — нормалізований вегетаційний індекс

NDRE (Normalized Difference Red Edge Index) — вегетаційний індекс червоного краю

ВСТУП

Сучасний аграрний сектор перебуває в умовах постійного зростання вимог до продуктивності, якості врожаю та раціонального використання ресурсів. Зміни клімату, поява нових шкідників і збудників хвороб, інтенсивні технології вирощування культур призводять до того, що навіть незначні затримки виявлення захворювань рослин можуть спричиняти суттєві втрати врожайності та економічні збитки для господарств. Традиційні підходи до фітосанітарного моніторингу, що ґрунтуються переважно на візуальному огляді насаджень агрономом, є трудомісткими, суб'єктивними та недостатньо оперативними, особливо за великих площ посівів або в умовах інтенсивного тепличного виробництва. У цьому контексті зростає актуальність впровадження автоматизованих систем виявлення патологій у рослин на основі методів комп'ютерного зору та глибинного навчання.

Розвиток технологій відеоспостереження, доступних камер високої роздільної здатності та відкритих бібліотек машинного навчання створює передумови для побудови систем, здатних у реальному часі аналізувати стан рослин за відеопотоком. Особливий інтерес становлять методи детекції об'єктів, які дозволяють не лише виявити факт наявності уражень, а й локалізувати їхню позицію на листковій поверхні. Сучасні архітектури на кшталт YOLOv8 дають змогу поєднати високу точність із прийнятною швидкістю, що є критично важливим для задач відеомоніторингу. Водночас застосування цих моделей до задачі діагностики захворювань у рослин потребує адаптації, побудови спеціалізованих наборів даних, вибору метрик якості та оцінки економічної доцільності впровадження таких систем у реальних умовах.

Актуальність даної роботи зумовлена необхідністю переходу від епізодичного, ручного й суб'єктивного контролю стану посівів до систематизованого, відтворюваного та частково автоматизованого моніторингу, заснованого на об'єктивних даних. З огляду на те, що значна кількість симптомів захворювань має чітко виражені візуальні ознаки (плями, зміна кольору, некроз, деформації листків), застосування методів аналізу зображень і відео є природним

напрямом розвитку цифрових технологій у рослинництві. Однак більшість наявних рішень зосереджені на аналізі статичних знімків, тоді як відеопотік із камер теплиць, полів або дронів залишається менш дослідженим і використовуваним. Це відкриває наукову нішу для дослідження методів детекції саме у відеопотоці та побудови прототипів, здатних працювати не лише з окремими кадрами, а й із безперервними потоками даних.

Метою роботи є дослідження та експериментальна перевірка методів детекції об'єктів у відеопотоці для автоматичного виявлення ознак захворювань у рослин, а також розробка програмного прототипу системи відеомоніторингу, що реалізує обрані алгоритми на практиці. Досягнення цієї мети передбачає як теоретичний аналіз існуючих підходів, так і розроблення й тестування власної програмної реалізації на основі моделі YOLOv8, інтегрованої з підсистемами захоплення, обробки та візуалізації відеоданих.

Об'єктом дослідження є процес відеомоніторингу стану рослин у тепличних або польових умовах із використанням стаціонарних або мобільних камер. Предметом дослідження – методи детекції об'єктів у відеопотоці, зокрема уражених ділянок листової поверхні, та їх програмна реалізація в системі автоматичного виявлення захворювань рослин.

Для досягнення поставленої мети в роботі послідовно розв'язуються такі завдання: здійснюється аналіз стану дослідженості проблеми автоматичного виявлення захворювань у рослин та існуючих систем моніторингу; розглядаються класичні та сучасні методи детекції об'єктів у зображеннях і відео, зокрема архітектури на основі глибоких нейромереж; формується узагальнена модель комп'ютерної системи відеоспостереження для аграрних задач і уточнюється структура об'єкта спостереження (типи культур, види уражень, сценіві умови). На цій основі обґрунтовується вибір конкретної архітектури детектора (YOLOv8n), метрик якості й методів експериментальних досліджень, а також розробляється програмне забезпечення, що поєднує модуль захоплення відео, модуль детекції, модуль візуалізації та модуль звітності.

Теоретико-методологічну основу дослідження становлять сучасні концепції комп'ютерного зору, глибинного навчання та точного землеробства, наукові публікації з питань автоматизованої діагностики захворювань рослин, а також практичні напрацювання спільноти розробників моделей YOLO. У роботі використовуються методи аналізу й синтезу наукових джерел, порівняльний аналіз архітектур детекції, експериментальне моделювання на основі навчання нейронної мережі, статистична оцінка якості за допомогою метрик mAP, precision, recall, а також емпірична оцінка продуктивності системи (FPS, затримка обробки кадру) на цільовій апаратній платформі.

Наукова новизна роботи полягає в узагальненні підходів до застосування методів детекції об'єктів у відеопотоці саме для задачі виявлення захворювань рослин та у формуванні прототипної моделі системи відеомоніторингу, яка поєднує детекцію уражених ділянок із формуванням покадрових і агрегованих звітів. На відміну від типових прикладів використання YOLO для загальної детекції об'єктів, у роботі акцент зроблено на специфіці аграрної сцени: неоднорідне освітлення, висока текстурованість листової поверхні, подібність ознак хвороби до природних відтінків і тіней, а також потреба у зручній для агронома інтерпретації результатів.

Практичне значення отриманих результатів полягає у створенні програмного прототипу системи детекції захворювань рослин у відеопотоці, реалізованого засобами Python, OpenCV та Ultralytics YOLO. Такий прототип може бути використаний як навчальний інструмент у курсах з комп'ютерного зору, штучного інтелекту та агроінформатики, а також як основа для побудови прикладних систем відеомоніторингу в тепличних господарствах і на дослідних ділянках. Реалізована система дозволяє проводити офлайн-аналіз відеофайлів і онлайн-моніторинг із камер, візуалізувати результати детекції на кадрах і формувати звіти, які можуть бути використані для оцінки інтенсивності ураження та ефективності заходів захисту рослин.

Структурно робота складається з вступу, чотирьох основних розділів і висновків. У першому розділі розглянуто стан дослідженості проблеми, проведено аналіз існуючих методів детекції об'єктів та систем моніторингу рослин. У другому

розділі сформовано теоретичну модель системи відеомоніторингу, описано структуру об'єкта дослідження та обґрунтовано вибір алгоритмів і метрик. Третій розділ присвячено синтезу системи детекції у відеопотоці та формулюванню технічних, програмних і ергономічних вимог. У четвертому розділі описано програмну реалізацію прототипу, використані засоби та архітектуру програмного забезпечення, а в п'ятому – наведено методику експерименту, результати тестування й аналіз ефективності системи. У висновках узагальнено основні результати дослідження, окреслено перспективи подальшого розвитку та застосування систем автоматичного відеомоніторингу стану рослин.

РОЗДІЛ 1

СТАН ПИТАННЯ ТА ПОСТАНОВКА ЗАВДАННЯ

1.1 Стан дослідженості проблеми автоматичного виявлення захворювань у рослин

Автоматичне виявлення захворювань у рослин сьогодні розглядається як один із ключових напрямів «розумного» землеробства, оскільки дає змогу ранньо діагностувати ураження посівів, зменшити обсяги пестицидів і підвищити врожайність. У класичних роботах 2000–2010-х років домінували підходи, засновані на аналізі кольору, текстури та форми листків: зображення переводили в інші колірні простори, виділяли ділянки ураження за порогоми або сегментацією, а далі описували їх набором ознак (GLCM, локальні статистики, дескриптори форми), які подавалися на вхід традиційним класифікаторам на кшталт k-NN, SVM чи дерев рішень. Ці системи демонстрували прийнятну точність на контрольованих наборах даних, але виявляли значну чутливість до змін освітлення, фону й ракурсу зйомки, що істотно обмежувало їх застосовність у реальних польових умовах.

З появою глибинного навчання фокус досліджень різко змістився в бік згорткових нейронних мереж (CNN). За останні роки опубліковано низку узагальнюючих оглядів, які показують, що CNN-моделі стали де-факто стандартом для розпізнавання хвороб за зображеннями листків, починаючи від базових архітектур на кшталт AlexNet, VGG, ResNet до сучасних варіантів із механізмами уваги та трансформерами. У цих оглядах підкреслюється, що глибинні моделі суттєво зменшують залежність від ручної інженерії ознак: мережа самостійно «вивчає» релевантні патерни плям, змін забарвлення, некрозів і деформацій листка. Систематичні аналітичні роботи 2023–2025 років демонструють, що точність класифікації хвороб на стандартних наборах, таких як PlantVillage, у багатьох випадках перевищує 95–98 %, а кількість досліджень у цій галузі щороку зростає.

Водночас переважна більшість праць зосереджується саме на класифікації окремих зображень листків або фрагментів рослин, а не на аналізі безперервного

відеопотоку. Дослідники формують датасети статичних зображень, які збираються у лабораторних умовах або в полі, а далі тренують моделі, що відносять листок до того чи іншого класу захворювання. Такі підходи добре працюють для офлайн-аналізу та розробки мобільних застосунків, де фермер фотографує листок смартфоном і отримує прогноз діагнозу, але вони не охоплюють задачу постійного моніторингу посівів у режимі реального часу.

Паралельно розвивається напрямок інтегрованих систем «AI + IoT», де камери, сенсори й комунікаційні модулі об'єднуються в єдину інфраструктуру для моніторингу стану агроценозів. У таких системах зображення з камер, встановлених на стаціонарних опорах, роботах, дронах або обертових поливних установках, передаються на локальні обчислювальні вузли, де працюють глибинні моделі класифікації або детекції хвороб. У низці робіт пропонуються «розумні» камери та апаратні платформи, на яких частина обробки виконується безпосередньо на борту, що зменшує залежність від хмарних сервісів і каналів зв'язку.

Останніми роками відзначається тенденція до переходу від чистої класифікації до повноцінної детекції об'єктів, коли система не лише визначає, чи є хвороба, а й локалізує конкретні уражені ділянки на листку або плоді за допомогою обмежувальних рамок або масок. Для цього використовують архітектури сімейств R-CNN, SSD, YOLO, а також різні модифікації YOLO, оптимізовані саме під аграрні задачі. Серед прикладів – моделі, які виявляють уражені томатні листки, яблуневі листки, кавові ягоди або хвороби винограду з високими значеннями mAP у реальних умовах освітлення й фону.

Таким чином, у сучасному науковому полі сформовано потужну базу знань щодо застосування глибинного навчання до задач виявлення захворювань рослин за зображеннями. Водночас сегмент робіт, де аналіз здійснюється саме на рівні відеопотоку, а не окремих кадрів, залишається відносно мало опрацьованим. Це стосується інтеграції детекції об'єктів у режимі реального часу з потоковим відео, обліку часової динаміки появи й розвитку симптомів, а також побудови практично придатних систем підтримки рішень на основі такої інформації. Саме у цій ніші й розташовується обрана у роботі проблематика.

1.2 Аналіз існуючих методів детекції об'єктів у зображеннях та відеопотоці

Розвиток методів детекції об'єктів пройшов кілька етапів – від класичних алгоритмів комп'ютерного зору до сучасних глибинних моделей, здатних працювати у режимі реального часу з відеопотоком. На ранніх етапах для виявлення об'єктів у зображеннях використовувалися комбінації ручних дескрипторів (Haar-ознаки, HOG, SIFT, SURF) та класифікаторів, зокрема каскадів Віоли–Джонса чи SVM. Такі алгоритми здобули успіх у задачах на кшталт детекції облич, але їх узагальнювальна здатність для складних природних сцен і біологічних об'єктів виявилася обмеженою, а продуктивність – недостатньою для аналізу високороздільних відеопотоків.

Поява згорткових нейронних мереж дала поштовх до розробки об'єктно-орієнтованих архітектур, що виконують одночасно локалізацію й класифікацію. Першим важливим кроком стало сімейство R-CNN, де використовувалась концепція регіонів-пропозицій: спочатку алгоритм генерував набір потенційних областей, які можуть містити об'єкти, а далі кожна область подавалася на CNN-класифікатор. У наступних роботах Fast R-CNN і Faster R-CNN пропозиції інтегрувалися в єдину нейронну архітектуру, що значно прискорило обробку й дозволило застосовувати методи в більш наближених до реального часу сценаріях.

Паралельно розвивалася лінія так званих одноетапних детекторів, серед яких найбільш відомими стали SSD і YOLO. В моделях SSD зображення аналізується CNN, а на кількох рівнях ознак певного масштабу розташовуються попередньо визначені «якорні» рамки, для яких мережа прогнозує корекції координат і ймовірності класів, що забезпечує компроміс між точністю та швидкістю. Сімейство YOLO запропонувало ще радикальніший підхід: зображення ділиться на сітку, для кожної комірки одночасно прогноуються координати обмежувальних рамок та ймовірності класів, а вся детекція виконується в одному проході мережі. Саме ця ідея «You Only Look Once» забезпечила можливість обробляти відеопотік із десятками кадрів на секунду, що критично важливо для задач моніторингу.

Сучасні огляди, присвячені порівняльному аналізу Faster R-CNN, SSD та YOLO, показують, що моделі на базі YOLO зазвичай дещо поступаються двоетапним підходам за максимальною точністю на складних наборах даних, зате значно перевершують їх за швидкістю й ефективністю використання ресурсів, що робить їх особливо привабливими для використання на вбудованих пристроях та в реальному часі. У аграрному контексті це означає, що YOLO-подібні моделі можна розгортати безпосередньо на польових камерах, мобільних пристроях або одноплатних комп'ютерах, зменшуючи затримку між виявленням симптомів та реакцією агронома.

У галузі виявлення захворювань рослин було запропоновано чимало модифікацій YOLO, що враховують специфіку задачі: дрібні об'єкти, високу щільність листків, часткові перекриття, схожі між собою візуальні симптоми. Наприклад, низка досліджень демонструє, що адаптація YOLOv5, YOLOv7, YOLOv8 і YOLO-NAS для детекції хвороб томатних листків, яблунового листа чи винограду дозволяє досягати mAP понад 90 % на комбінованих датасетах PlantVillage та спеціалізованих польових колекціях. У роботах 2024–2025 років пропонуються вдосконалені архітектури, де до базового каркасу YOLO додаються механізми уваги, покращені функції втрат (Wise-IoU, CIoU), спеціальні гілки для дрібних об'єктів та легковагові блоки RepVGG, що дає змогу підвищувати точність при збереженні високої швидкодії.

Для відеопотоку важливо не лише виявити об'єкти на окремому кадрі, а й забезпечити стійкість у часі, уникнути «миготіння» детекцій, відслідкувати динаміку розвитку хвороби на тій самій рослині або ділянці поля. Частина робіт вирішує це за допомогою згладжування результатів по кадрах, трекінгу об'єктів та агрегації прогнозів у часових вікнах. Інші поєднують детекцію з підсистемами IoT, де відеодані надходять у режимі реального часу з камер, вмонтованих у дрони, роботизовані платформи або поливні системи, а нейронні мережі на борту чи на периферійному сервері виконують аналіз та формують тривожні повідомлення при перевищенні порогів ураження.

Таким чином, на рівні методів детекції об'єктів сформувався багатий арсенал інструментів – від класичних дескрипторів до сучасних сімейств YOLO та трансформер-моделей. Для задачі виявлення захворювань рослин у відеопотоці особливий інтерес становлять легковагові варіанти одноетапних детекторів, здатні працювати в реальному часі й адаптуватися до обмежених обчислювальних ресурсів, але разом з тим достатньо чутливі до дрібних і слабконтрастних симптомів хвороб.

1.3 Проблеми та обмеження сучасних систем виявлення захворювань у рослин

Попри значний прогрес, сучасні системи автоматичної діагностики хвороб рослин мають низку обмежень, які стримують їх широке впровадження в реальні агротехнологічні процеси. Одна з ключових проблем стосується якості та репрезентативності навчальних даних. Багато моделей тренуються на лабораторних наборах зображень із рівномірним освітленням, однорідним фоном і чітко видимими симптомами. У полі ж рослини перебувають в умовах різного освітлення, тіні, часткового перекриття, забруднень, відблисків, що призводить до доменного зсуву й падіння точності при перенесенні моделей у реальне середовище.

Другою важливою групою проблем є морфологічні особливості самих захворювань. Численні хвороби мають схожі візуальні прояви на ранніх стадіях, а на пізніх – багатокомпонентні патерни, які можуть поєднувати зміну забарвлення, некрози, деформацію тканин. Це ускладнює класифікацію навіть для людини-експерта, а для моделі, що працює за RGB-зображенням, ще більше. У полі також часто зустрічаються дрібні вогнища ураження, які займають незначну частину кадру, що вимагає від детектора чутливості до малих об'єктів та дуже точного локалізатора.

На рівні системної інтеграції виклики пов'язані з обмеженими ресурсами обчислювальних платформ (особливо в польових умовах), вимогами до

енергоспоживання, каналами зв'язку та необхідністю працювати в реальному часі. Багато сучасних детекторів демонструють вражаючу точність у лабораторних умовах, але потребують потужних GPU, що не завжди сумісно із сценаріями використання в теплицях, на відкритих полях чи невеликих фермерських господарствах. Саме тому активно досліджуються стислий нейронний дизайн, квантизація, прунинг і інші методи оптимізації, але питання балансу між точністю й ресурсами залишається відкритим.

Окрема проблема – робота з відеопотоком, де алгоритм має бути стійким до шумів, пропусків кадрів, змін освітлення в часі, руху камери або об'єктів. На практиці це означає, що одиничні помилкові спрацювання чи пропуски на окремому кадрі можуть бути згладжені за рахунок аналізу часової послідовності, але більшість існуючих рішень все ще фокусується на обробці кадрів незалежно. Додаткові труднощі виникають при спробі інтегрувати модуль детекції в загальну систему підтримки рішень, яка має формувати інтерпретовані звіти для агронома, а не лише показувати рамки на екрані.

1.4 Постановка завдання дослідження

Враховуючи наведений аналіз, можна констатувати, що, з одного боку, у сучасній науковій літературі накопичено значний досвід застосування методів глибинного навчання для автоматичного розпізнавання хвороб рослин за зображеннями. З іншого боку, саме аспект роботи з відеопотоком, інтеграції детекції уражених ділянок у режимі реального часу з системою моніторингу та формування практично корисних звітів опрацьовано недостатньо й переважно в рамках окремих пілотних проєктів.

У цьому контексті метою даного дослідження є теоретичне й практичне опрацювання методів детекції об'єктів у відеопотоці для виявлення захворювань у рослин, а також розробка прототипу програмної системи, здатної здійснювати аналіз відеоданих у режимі близькому до реального часу, візуалізувати результати

у вигляді обмежувальних рамок та формувати агреговані звіти щодо інтенсивності виявлених уражень.

До кола завдань, які впливають із поставленої мети, належить уточнення вимог до системи відеомоніторингу рослин, аналіз і вибір адекватних методів детекції об'єктів для роботи з відеопотоком, побудова концептуальної моделі системи, а також реалізація програмного модуля на основі сучасного одноетапного детектора (зокрема YOLO-сімейства) з можливістю обробки відеофайлів та сигналу з камери. Практичне значення дослідження полягає у створенні й апробації прототипу, який демонструє застосовність таких методів для задач раннього виявлення симптомів захворювань у рослин і може слугувати основою для подальшого розширення до повноцінних «розумних» систем агромоніторингу.

РОЗДІЛ 2

ТЕОРЕТИЧНИЙ РОЗДІЛ

2.1 Загальна характеристика комп'ютерної системи відеомоніторингу стану рослин

У світовій практиці під комп'ютерною системою відеомоніторингу стану рослин розуміють не просто камеру із записом, а комплекс, що поєднує засоби отримання зображень (стаціонарні камери, дрони, роботизовані платформи чи мобільні пристрої), вузол обробки (локальний комп'ютер, edge-пристрій або хмару), модуль глибинного аналізу зображень і підсистему подання результатів у вигляді анотованого відео, графіків, карт та звітів. Такі системи працюють майже в режимі реального часу й орієнтовані на раннє виявлення хвороб, шкідників або стресу, щоб агроном міг швидко реагувати; у «розумних» теплицях вони інтегруються з мережею IoT-сенсорів і стають ключовим елементом точного землеробства.

Найкраще опрацьовані рішення для теплиць та закритого ґрунту, де використовують мережу стаціонарних RGB-камер, іноді доповнених мультиспектральними або глибинними сенсорами. Потік зображень надходить на локальний сервер або edge-пристрій, де працюють моделі глибинного навчання на кшталт YOLO чи SSD, адаптовані до конкретних культур. Результати подають у вигляді веб-панелей або мобільних застосунків і часто поєднують з даними про температуру, вологість, освітленість, що дозволяє пов'язувати візуальні симптоми з мікрокліматом.

Паралельно розвиваються мобільні роботизовані платформи та дроніві рішення. Роботи з камерами рухаються між рядами, знімають крупні плани листків, зменшують перекриття крони й на борту виконують детекцію хвороб, наприклад фітофторозу чи плямистостей. Безпілотники з RGB, мульти- та гіперспектральними камерами багаторазово облітають поля, формуючи часові ряди знімків; далі

глибинні моделі разом з індексами рослинності (NDVI, NDRE тощо) дозволяють не лише виявляти осередки уражень, а й відстежувати динаміку їх розвитку.

Суттєвий пласт досліджень стосується IoT- та edge-орієнтованих систем, де камера є частиною «розумного» вузла на базі Raspberry Pi, NVIDIA Jetson чи подібних платформ. Оптимізовані моделі глибинного навчання виконують аналіз кадрів локально, а в хмару надсилаються лише тривожні сповіщення та фрагменти відео, що економить трафік і скорочує затримку. Подібну логіку реалізують і мобільні додатки, у яких роль камери відіграє смартфон фермера: короткі відео або серії знімків обробляються безпосередньо на пристрої чи сервером і повертають користувачеві діагноз і рекомендації.

Останні розробки рухаються від окремих прототипів до комплексних платформ, які поєднують відеодані з дронів, супутників, наземних камер та мережі сенсорів і використовують глибинні моделі як ядро системи підтримки аграрних рішень. Узагальнюючи досвід, типова система відеомоніторингу рослин спирається на моделі комп'ютерного зору, що вміють локалізувати уражені ділянки, працює з реальними потоками даних від різних носіїв і формує не лише анотоване відео, а й агреговані показники, карти ризику та звіти для управління технологією вирощування й планування агротехнічних заходів.

2.2 Структура об'єкта дослідження (рослинні об'єкти, типи захворювань, сцена спостереження)

Об'єктом дослідження в системах відеодетекції захворювань рослин є не окремий «листок у кадрі», а багаторівнева сцена, що поєднує рослини, типові візуальні ураження та просторово-часовий контекст спостереження. Зазвичай розрізняють три рівні: листок/плід, окрема рослина та ділянка посіву чи теплиці. На першому рівні фіксуються локальні симптоми (плями, некрози, зміни забарвлення), на другому – загальний стан куща або дерева, на третьому – просторовий розподіл уражень у межах грядки чи поля [1; 2]. Більшість робіт зосереджена на економічно важливих культурах (томат, виноград, пшениця, рис,

кукурудза, цитрусові, яблуна), де один і той самий відеопотік містить здорові, слабо й сильно уражені рослини, а отже система мусить працювати з неоднорідним, мозаїчним об'єктом [3; 4].

Типологія хвороб у комп'ютерному зорі будується за візуальними проявами, а не за етіологією: моделі розрізняють «плямистості», «усихання краю листка», «мозаїчні зміни», «наліт», «пошкодження плодів» тощо [1; 5]. Важливу роль відіграє сцена спостереження. У теплицях переважають контрольоване освітлення й стабільний фон, але є відблиски, тіні та регулярні конструкції; у полі сцена набагато варіативніша через вітер, зміну освітленості, наявність ґрунту, техніки, людей [6; 7]. Для дронів додаються зміни висоти та кута зйомки, через що ураження спостерігаються як зміна спектральної відповіді ділянок крони чи поля.

Структуру сцени зазвичай описують як поєднання шару рослинності (листки, стебла, плоди), шару фону (ґрунт, конструкції, комунікації) та шару перешкод (рух людей і техніки, опади тощо). Для задачі детекції хвороб цільовим є рослинний шар, тоді як фон і перешкоди виступають джерелом хибних спрацювань; тому при формуванні навчальної вибірки важливо враховувати всі три компоненти [8; 9]. Отже, структура об'єкта дослідження у відеопотоці – це множина рослин різного масштабу, множина візуально визначених типів уражень і складна сцена спостереження з неконтрольованими факторами, що зумовлює вимоги до методів: чутливість до дрібних деталей, стійкість до фонових змін і здатність працювати з потоковими даними.

2.3 Обґрунтування і вибір методів детекції об'єктів у відеопотоці

У розв'язанні задачі виявлення захворювань у рослин у відеопотоці можливі два принципово різні підходи: класичні алгоритми комп'ютерного зору з ручною інженерією ознак та сучасні методи глибинного навчання. Узагальнюючі огляди останніх років однозначно показують, що саме глибинні моделі, зокрема згорткові нейронні мережі та одноетапні детектори, забезпечують значно вищу точність і краще узагальнення на складних польових даних [1; 2; 4]. Класичні методи

(сегментація за порогами, текстурні дескриптори, SVM) можуть бути корисними як попередній етап, але в задачах реального часу та великої варіативності сцени вони поступаються нейромережам.

Ключовою вимогою до методу в даному випадку є одночасне забезпечення локалізації (де саме на кадрі знаходиться ураження) та класифікації (до якого типу або, принаймні, до якого класу “здоровий/уражений” воно належить), причому з обмеженими обчислювальними ресурсами й у режимі наближеному до реального часу. Саме тому у світовій літературі для задач моніторингу хвороб рослин все частіше використовуються моделі сімейства YOLO та їх модифікації [7; 10; 14]. Вони поєднують прийнятну точність із високою швидкістю, що дозволяє обробляти відеопотік кадр за кадром без значних затримок.

З іншого боку, для деяких задач, наприклад точного вимірювання площі ураження або аналізу структури плям, більш природними є моделі сегментації (U-Net, DeepLab тощо). Однак вони зазвичай є “важчими” й повільнішими, а отже використовуються або у гібридних схемах (детекція + локальна сегментація), або в офлайн-аналітиці [1; 3]. Тому для задачі потокової детекції у відео вибір схиляється на користь ефективних детекторів об’єктів, які потім можуть доповнюватися іншими модулями.

Беручи до уваги вимоги до точності, швидкодії та здатності працювати з дрібними об’єктами (плями на листі, невеликі ділянки некрозу), найбільш виправданим виглядає використання архітектур сімейства YOLO останніх поколінь (YOLOv5–YOLOv8) у базовому або модифікованому варіанті, можливо – з доопрацюванням під дрібні об’єкти й edge-сценарії [8; 9; 11; 12].

2.3.1 Формалізація задачі детекції уражених ділянок на рослинах

Формально задача детекції уражених ділянок у відеопотоці може бути описана як задача пошуку множини об’єктів певного класу (або кількох класів) на послідовності кадрів. Відеопотік V розглядається як послідовність кадрів

$$V = \{I_t \mid t = 1, 2, \dots, T\},$$

де I_t – t -й кадр, поданий як тензор розміру $H \times W \times 3$ у просторі RGB. Для кожного кадру потрібно знайти множину детекцій

$$D_t = \{(b_i, c_i, s_i)\}_{i=1}^{N_t},$$

де $b_i = (x_{i1}, y_{i1}, x_{i2}, y_{i2})$ – координати обмежувальної рамки у піксельних координатах, c_i – мітка класу (наприклад, “уражена ділянка листка”, “здоровий листок”, конкретний тип хвороби), $s_i \in [0, 1]$ – ступінь впевненості моделі у правильності цієї детекції.

Якщо модель натренована на бінарну схему “здоровий/уражений”, множина класів C має вигляд $\{0, 1\}$, де 1 відповідає виявленій хворобі. Для багатокласної схеми C містить окремі нумеровані класи для різних хвороб (наприклад, фітофтороз, іржа, борошниста роса). Тоді завдання моделі полягає у наближенні відображення

$$f_{\theta}: I_t \mapsto D_t,$$

де θ – параметри нейронної мережі, що навчаються.

Метою навчання є мінімізація функції втрат, яка поєднує помилки локалізації рамок (наприклад, у термінах IoU – Intersection over Union) та помилки класифікації класів захворювань. У сучасних модифікаціях YOLO використовуються складні комбіновані функції втрат (CIoU, SIoU, Wise-IoU), які краще корелюють із кінцевими метриками якості [10; 11; 13].

Для відеопотоку важливо враховувати часову структуру. Хоча базові детектори (YOLOv8n, YOLOv8s тощо) працюють незалежно на кожному кадрі, результати можна інтерпретувати як часовий ряд множин D_t . Це дозволяє вводити додаткові показники: стабільність детекцій у часі, швидкість появи чи розростання ураження, тривалість “життя” хворої ділянки в кадрі. У більш складних системах

поверх детектора будуються трекари, які пов'язують рамки між кадрами та дозволяють оцінювати траєкторію змін для окремої рослини або її частини [8; 9].

З погляду агрономічної інтерпретації, результатом формалізації є не лише список рамок на окремих кадрах, а й можливість побудови агрегованих показників: частка уражених пікселів/площі в межах кадру, частота появи нових уражень, інтенсивність розвитку симптомів, просторовий розподіл виявлених ділянок по сцені. Саме ці агреговані показники згодом лягають в основу карт ураження або зон ризику.

2.3.2 Порівняльний аналіз архітектур алгоритмів детекції (YOLOv8 та альтернативи)

Сучасні системи автоматичного виявлення хвороб рослин у зображеннях та відео використовують, головним чином, три класи детекторів: двоетапні моделі типу Faster R-CNN, одноетапні моделі типу SSD та різні покоління YOLO. У двоетапних моделях мережа спочатку генерує регіони-пропозиції, а потім класифікує їх; це забезпечує високу точність, але зазвичай є повільнішим варіантом, менш придатним для потокового відео. SSD і подібні моделі працюють в одному проході, прогнозуючи рамки та класи для набору “якорів” на різних масштабах ознак, забезпечуючи баланс між точністю та швидкістю [3; 4].

Сімейство YOLO пройшло кілька поколінь розвитку – від початкового YOLOv1 до сучасних YOLOv8, YOLOv9 і спеціалізованих модифікацій. Важливо, що YOLOv8 уже сприймається в літературі як “референсний” одноетапний детектор загального призначення: він використовує вдосконалений каркас із CSPNet-подібною спинкою, поєднання FPN+PAN у “шиї” для мульти-масштабного виявлення, а також anchor-free підхід у голові детектора, що спрощує навчання та покращує роботу з дрібними об'єктами [10; 14].

У табл. 2.1 наведено узагальнену порівняльну характеристику основних груп архітектур, що використовуються для задач детекції захворювань у рослин.

Таблиця 2.1 – Порівняння архітектур детекторів для задачі виявлення захворювань рослин у відео

Архітектура	Характеристика	Переваги	Недоліки	Типові сценарії
Faster R-CNN	Двоетапний детектор з регіонами-пропозиціями	Висока точність локалізації та класифікації	Високі вимоги до ресурсів, повільна робота	Офлайн-аналіз, високоточні дослідження
SSD	Одноетапний, anchor-based	Компроміс точність/швидкість	Менша гнучкість для дрібних об'єктів	Мобільні застосунки, зображення
YOLOv5/YOLOv7	Одноетапні, оптимізовані для реального часу	Висока швидкість, широка підтримка	Не останнє покоління, слабкіші для дрібних об'єктів	Відео в реальному часі, дрони
YOLOv8	Одноетапний, anchor-free, покращений neck	Краще мульти-масштабне виявлення, зручний стек	Потребує налаштування під конкретні дані	Універсальні системи відеомоніторингу
Модифіковані YOLOv8 (SOD-, SerpensGate-, GVC-YOLO тощо)	Спеціалізовані під дрібні об'єкти, edge-обробку, рослинні хвороби	Підвищена точність для дрібних/складних об'єктів, оптимізація під ресурси	Більш складне налаштування, необхідність спеціалізованих датасетів	Реальний час, дрони, трактори, теплиці

Ряд робіт демонструє, що “чистий” YOLOv8 уже забезпечує конкурентну якість детекції хвороб рослин, але спеціалізовані модифікації дають додатковий вигравш у точності для дрібних уражень. Наприклад, SOD-YOLOv8 (Small Object Detection YOLOv8) модифікує шию та голову детектора, щоб краще зберігати та використовувати інформацію з дрібних масштабів, що дозволяє підвищити точність виявлення невеликих об'єктів [11]. Інші роботи пропонують IMCMD_YOLOv8 або подібні моделі з розширеним числом голів детектора та адаптованими функціями втрат, зорієнтованими на малий розмір об'єктів [12; 13].

Спеціально для задачі виявлення хвороб рослин запропоновано ряд моделей, що використовують YOLOv8 як базу, але додають механізми уваги, додаткові шари для збагачення текстурних ознак або блоки для мультимодальних даних. Так, SerpensGate-YOLOv8 поєднує вдосконалену архітектуру воріт і блоки уваги для ефективнішого виділення патологічних фрагментів листя на складному фоні,

демонструючи покращення mAP у порівнянні з базовим YOLOv8 на спеціалізованих датасетах хвороб [8]. Окремо варто згадати дослідження, де YOLO-подібні моделі використовуються для реального часу на дронах та тракторних платформах для виявлення хвороб і шкідників у полі [6; 9; 15].

Порівнюючи архітектури в контексті відеопотоку, додатковим аргументом на користь YOLOv8 є її реалізація в популярних фреймворках із підтримкою апаратного прискорення, зручністю інтеграції з OpenCV та можливістю швидко перемикатися між різними розмірами моделі (n, s, m, l, x) залежно від ресурсів. Це важливо для систем, які можуть запускатися як на настільних ПК, так і на edge-пристроях

2.3.3 Узагальнена модель системи автоматичного виявлення захворювань у відеопотоці

Узагальнену модель системи автоматичного виявлення захворювань у рослин у відеопотоці доцільно описати як послідовність перетворень від сирих відеоданих до високорівневих агрономічних показників. На вході системи знаходиться відеопотік від камери, що спостерігає за рослинами у теплиці, на полі або з борта дрона. Далі відбувається дискретизація потоку на кадри з певною частотою (наприклад, 10–30 кадрів за секунду) та попередня обробка – масштабування до потрібної роздільної здатності, нормалізація кольору, можливе зменшення шуму.

Центральним компонентом моделі є блок детекції, який реалізовано у вигляді нейронної мережі типу YOLOv8 або її модифікації. Кожен кадр обробляється детектором, на виході якого формується набір рамок з оцінками впевненості та класів, що інтерпретуються як “уражені ділянки”. Після цього результати можуть передаватися в блоки трекінгу та часової агрегації, які пов’язують детекції між кадрами та дозволяють оцінити динаміку хвороби.

Завершальний рівень моделі – це блок агрегації та візуалізації, який перетворює множину детекцій у зручні для користувача форми: анотоване відео з рамками, текстові та табличні звіти, теплові карти ураження, що показують, які

ділянки сцени мають найбільшу частоту виявлених хвороб. Така тришарова модель (збір даних – інтелектуальний аналіз – представлення результатів) є типовою для сучасних систем розумного землеробства та згадується в низці оглядових робіт [1; 6; 17].

2.3.4. Схема обробки даних: від відеопотоку до карти ураження рослин

Шлях даних у системах відеомоніторингу захворювань рослин можна описати як конвеєр із кількох послідовних етапів. На першому етапі здійснюється захоплення відеопотоку з камери або читання збереженого відеофайлу. Кадри відбираються з заданим інтервалом і перевіряються на цілісність; за потреби здійснюється стабілізація зображення або компенсація руху. На другому етапі кадри подаються на вхід детектора; залежно від обраного архітектурного рішення це може бути базовий YOLOv8n для легких сценаріїв або модифікований YOLOv8 з покращеною обробкою дрібних об'єктів для більш складних сцен [8; 11; 12].

Далі, після отримання детекцій на кожному кадрі, система виконує просторово-часову агрегацію. Просторовий аспект полягає у підрахунку кількості детекцій у межах певних зон кадру: наприклад, умовний поділ поля зору на сітку та оцінка “щільності” хвороб у кожній комірці. Часовий аспект передбачає аналіз послідовних кадрів: стабільні детекції, що повторюються в одному й тому самому місці протягом тривалого часу, інтерпретуються як реальні осередки хвороби, тоді як поодинокі “сплески” можуть розглядатися як шум. Подібні підходи описуються в роботах, де реальний час поєднується з edge-обробкою та побудовою карт шкідників і хвороб [9; 15].

На заключному етапі будується карта ураження рослин. Вона може бути визначена як відображення сцени в координатний простір (наприклад, у піксельних або географічних координатах), де кожній точці відповідає оцінка ризику або інтенсивності ураження. Для стаціонарної камери у теплиці такою картою може бути проєкція поля зору на площину стелажа, де колір комірки відображає частку кадрів із детекцією хвороб. Для дронів карта ураження часто будується у

географічній системі координат, прив'язуючи детекції до GPS-даних і поєднуючи їх із іншими шарами – індексами рослинності, моделями рельєфу [5; 6; 18].

Таблиця 2.2 – Етапи обробки даних у системі відеомоніторингу захворювань рослин

Етап	Вхідні дані	Основні операції	Вихідні дані
Захоплення	Відеопотік, відеофайл	Читання кадрів, нормалізація формату	Послідовність кадрів I_t
Детекція	Окремі кадри	Прямий прохід через детектор, фільтрація за порогом	Множини детекцій D_t
Агрегація	Множини детекцій у часі	Групування за зонами, згладжування у часі	Статистика ураження по зонах/часу
Картографування	Агреговані показники, координати	Побудова карти ризику, візуалізація	Карта ураження, звіти, анотоване відео

У підсумку схема обробки даних від відеопотоку до карти ураження забезпечує місток між низькорівневою комп'ютерною обробкою зображень та високорівневою агрономічною аналітикою. Саме така структура дозволяє використовувати результати детекції не лише для ілюстрації, а й для прийняття рішень – від локальних обробок до стратегічного планування заходів захисту рослин.

2.4 Обґрунтування і вибір метрик якості та методів експериментальних досліджень

У контексті автоматичного виявлення захворювань у рослин у відеопотоці система фактично розв'язує задачу детекції об'єктів. Тому критерії якості мають, з одного боку, відображати точність локалізації та класифікації уражених ділянок, а з іншого — враховувати особливості практичного застосування: робота з відео в режимі наближеному до реального часу, дрібний розмір об'єктів, велика варіативність сцени. Саме це зумовлює вибір класичних метрик детекції (precision, recall, F1-score, mAP при різних порогах IoU), доповнених показниками обчислювальної ефективності (FPS, затримка) та стабільності системи у часі.

Найбільш розповсюдженою узагальнюючою метрикою для детекції об'єктів є середня точність (Average Precision, AP) та її усереднення за класами – mean Average Precision (mAP). Для оцінювання моделей YOLO в задачах сільськогосподарського комп'ютерного зору, включаючи виявлення хвороб та шкідників рослин, стандартом де-факто є використання mAP при фіксованому порозі IoU (наприклад, mAP@0.5) або в діапазоні порогів (mAP@0.5:0.95, як у COCO) [1; 2]. Значення IoU (Intersection over Union) визначає, наскільки добре передбачена рамка перекривається з еталонною:

$$IoU = \frac{\text{площа перетину передбаченої та істинної рамок}}{\text{площа їх об'єднання}}.$$

Якщо IoU перевищує заданий поріг (наприклад, 0.5), детекція вважається правильною (True Positive), в іншому разі — помилковою (False Positive) або пропущеною (False Negative), що напряду впливає на обчислення точності та повноти [1].

Традиційні метрики точності (precision) та повноти (recall) використовуються для оцінки здатності моделі уникати хибних спрацювань і пропусків: precision показує частку коректних детекцій серед усіх спрацювань, recall — частку знайдених уражених ділянок серед усіх позначених на еталоні. В аграрних застосуваннях низький precision означає «фальшиві тривоги», а низький recall — ризик пропустити реальні осередки захворювання [2; 3]. У більшості робіт із томатами, виноградом та іншими культурами основою оцінювання є трійка “precision–recall–mAP” [3; 4], а F1-score як гармонічне середнє між ними дає балансований показник якості, що особливо корисно при підборі порога впевненості детектора [4; 5]. Через сильний дисбаланс класів (здорові ділянки переважають, ураження дрібні й рідкі) загальна асигасу майже неінформативна, тому сучасні огляди рекомендують орієнтуватися саме на mAP, precision, recall та F1 [1; 2; 6].

Для відеозадач до цих показників додаються метрики обчислювальної ефективності. Ключовою є кількість кадрів за секунду (FPS), що характеризує, скільки кадрів система обробляє в реальному часі; для практичних систем моніторингу в теплицях чи на дронах зазвичай орієнтуються на 15–30 FPS [3; 7]. Важливими є також латентність (затримка між надходженням кадру та отриманням результату) і стабільність продуктивності при тривалій роботі. У випадках, коли детекція використовується для побудови карт ураження або часових графіків, вводять агреговані індикатори — частку «хворих» кадрів, середнє число детекцій на кадр тощо, які інтерпретуються як оцінка інтенсивності й динаміки захворювання [5; 8]. Вибір конкретної комбінації метрик залежить від мети: для proof-of-concept достатньо високого mAP@0.5 і прийняттого FPS, тоді як при інтеграції в технологію вирощування пріоритет часто віддають високому precision, щоб обмежити кількість хибних тривог.

Методика експериментальних досліджень спирається на поділ даних на тренувальну, валідаційну та тестову підмножини. Типовим є підхід, коли навчання моделі проводять на статичних зображеннях (кадрах чи окремих фотографіях листків), а тестування — як на зображеннях, так і на відео [1; 6; 9]. Для контролю узагальнювальної здатності рекомендується крос-валідація або, принаймні, розділення даних за сценами й умовами: модель навчають на відео з однієї теплиці чи дня, а тестують на інших, щоб уникнути прив'язки до конкретного освітлення чи фону [7; 9]. Додатково проводять експерименти з шумами, змінами освітленості, поворотами й масштабуванням, що імітують реальні варіації сцени [2; 8].

Обов'язковим елементом є аналіз помилок: побудова матриць невірної класифікації для випадків із кількома типами хвороб та візуальний розбір типових хибних позитивних і хибних негативних спрацювань (детекція тіней як ураження, пропуск слабо виражених симптомів тощо) [3; 5]. На цій основі формулюють рекомендації щодо поліпшення моделі — дорозмітки складних прикладів, введення додаткових класів фону, зміни порогів упевненості. У цілому експериментальний цикл включає базове налаштування моделі на зображеннях, тестування на відео з фіксацією mAP, precision, recall, F1 та FPS, аналіз роботи в різних сценаріях зйомки

й агрономічну інтерпретацію отриманих карт ураження. Поєднання вказаних метрик та етапів дослідження дозволяє об'єктивно оцінити придатність алгоритму для відеомоніторингу захворювань рослин і обґрунтувати практичні висновки.

РОЗДІЛ 3

СИНТЕЗ СИСТЕМИ ДЕТЕКЦІЇ ЗАХВОРЮВАНЬ У РОСЛИН У ВІДЕОПОТОЦІ

3.1 Цілі впровадження системи відеомоніторингу стану рослин

Першою й базовою ціллю впровадження системи відеомоніторингу є забезпечення раннього виявлення симптомів захворювань у рослин у режимі, максимально наближеному до реального часу. У традиційній практиці агроном або фітопатолог оглядає посіви візуально, вибірково, і така перевірка неминуче має епізодичний характер. Система, що постійно “дивиться” на рослини через камеру, дозволяє перетворити цей епізодичний контроль на безперервний, автоматизований процес, де перші ознаки патології фіксуються вже на стадії поодиноких плям чи змін забарвлення. Це, у свою чергу, дає змогу своєчасно застосовувати локальні заходи захисту, зменшуючи потребу в масових обробках та знижуючи витрати на пестициди.

Другою важливою ціллю є формування об’єктивної й відтворюваної системи спостережень. На відміну від суб’єктивного візуального огляду різними фахівцями, алгоритм комп’ютерного зору працює за фіксованими правилами, використовуючи ті самі пороги, моделі та протоколи обробки. Це дозволяє накопичувати однорідні в часі дані про стан рослин, порівнювати сезони, різні сорти, агротехнічні схеми, а також створювати повноцінні відеоархіви, до яких можна повернутися для повторного аналізу або навчання нових моделей.

Третьою ціллю виступає інтеграція системи відеомоніторингу в контур прийняття рішень на рівні господарства або дослідницького полігону. Йдеться не лише про “красиве” накладання рамок на відео, а про отримання агрегованих показників: частки уражених кадрів, середньої кількості детекцій на одиницю часу, локалізації “гарячих зон” у межах поля зору. Такі показники можуть бути інтегровані в більш широкі системи підтримки прийняття рішень, де разом з

даними з метеостанцій, ґрунтових і листкових аналізів формуються рекомендації щодо обробок, поливу, підживлення.

Четверта ціль пов'язана з науковим та навчальним аспектом. Побудова прототипу системи детекції захворювань у відеопотоці дає можливість відпрацювати повний цикл розробки “AI-рішення” для аграрної сфери: від збору й розмітки даних до навчання моделі, її розгортання та експериментальної перевірки на реальному або наближеному до реального відео. Це формує методологічну базу для подальших досліджень, у тому числі для ускладнення моделі (багатокласні хвороби, поєднання з сегментацією) та перенесення рішення на інші культури.

Нарешті, п'ятою ціллю є створення гнучкого прототипу, який, будучи розробленим для конкретного сценарію (наприклад, відео з виноградником або тепличними томатами), може бути адаптований до інших умов за рахунок заміни моделі та переналаштування параметрів, не змінюючи загальної архітектури системи.

3.2 Формулювання технічних вимог до системи детекції

Технічні вимоги до системи детекції захворювань у рослин у відеопотоці формулюються з урахуванням зазначених вище цілей та особливостей об'єкта дослідження. Вони охоплюють, з одного боку, вимоги до вхідних даних (характеристики камер, формат відео, параметри зйомки), а з іншого – вимоги до функціоналу програмної частини, що визначають, як саме система має обробляти відео, візуалізувати результати й формувати вихідні звіти.

На рівні загальних вимог система повинна забезпечувати аналіз відеопотоку в режимі офлайн (обробка попередньо записаних файлів) і, за можливості, в режимі онлайн (захоплення кадрів із підключеної камери). Алгоритм детекції має працювати з прийнятною швидкістю, яка дозволяє обробляти не менше кількох кадрів за секунду без пропуску інформаційно важливих моментів, а якість виявлення має задовольняти критеріям, визначеним на етапі вибору метрик (достатньо високі значення precision, recall та mAP).

Система повинна бути реалізованою на доступній обчислювальній платформі – у рамках даної роботи йдеться про персональний комп’ютер з операційною системою Windows, встановленим інтерпретатором Python, бібліотекою OpenCV для роботи з відео та бібліотекою Ultralytics для запуску моделі YOLOv8. Важливо, щоб реалізація не вимагала спеціалізованого GPU-обладнання, а за його наявності могла використовувати апаратне прискорення без істотних змін коду.

Крім того, до технічних вимог належить можливість гнучкої конфігурації основних параметрів: шляху до відеофайлу, джерела відео (файл або камера), шляху до файлу моделі, порогів упевненості й IoU для детекції, параметрів формування звітів. Це дозволяє налаштовувати систему під різні сценарії експериментів, не змінюючи структури програмного коду.

3.2.1 Вимоги до відеоданих (камери, роздільна здатність, частота кадрів)

Вимоги до відеоданих відображають той факт, що навіть найкраща модель детекції не зможе працювати якісно, якщо вхідний сигнал має надто низьку якість. Тому на рівні камер доцільно передбачити використання стандартних RGB-камер, здатних забезпечити зйомку в роздільній здатності не нижче за 1280×720 пікселів, а оптимально – 1920×1080 (Full HD). Така роздільна здатність дає змогу моделі бачити дрібні плями та інші симптоми захворювань на листках, не розмиваючи їх до кількох пікселів.

Частота кадрів має бути достатньою для того, щоб відтворювати динаміку сцени без значних “стрибків”. Для стаціонарної тепличної камери зазвичай достатньо 10–15 кадрів на секунду, оскільки рослини рухаються повільно, а зміни стану відбуваються протягом годин і днів. Для мобільних платформ і дронів бажано мати 20–30 кадрів на секунду, щоб компенсувати рух камери та уникати розмиття при зміні ракурсу. В рамках програмної реалізації допускається використання відеофайлів із будь-якою більшою частотою кадрів, оскільки при обробці можливо вибірково аналізувати, наприклад, кожен другий або третій кадр, балансує між повнотою інформації та обчислювальними витратами.

Ще одним аспектом є формат відео та кодек. Для реалізації на Python із використанням OpenCV зручно використовувати поширені формати на кшталт mp4 з кодуванням H.264 або сумісними. Це забезпечує сумісність із типовими камерами й дронами, а також дозволяє легко передавати файли між системами. Важливо, щоб відео не містило надмірного стиснення із сильними артефактами, які можуть сприйматися моделлю як “шум” і погіршувати якість детекції.

На рівні сцени зйомки бажано забезпечити відносну стабільність освітлення: різкі перепади яскравості, сильні відблиски від сонця або ламп, глибокі тіні ускладнюють аналіз. У реальних умовах повністю усунути ці фактори неможливо, але принаймні на етапі побудови прототипу доцільно підбирати такі фрагменти відео, де рослини займають більшу частину кадру, фон є відносно однорідним, а камера або статична, або рухається плавно.

3.2.2 Вимоги до функцій, що виконуються системою (онлайн/офлайн аналіз, візуалізація, звітність)

Функціональні вимоги визначають, які операції система виконує з відеоданими та як подає результати користувачеві. Базова функція – офлайн-аналіз: користувач надає заздалегідь записане відео, система послідовно зчитує кадри, передає їх у модель YOLOv8, отримує детекції й накладає рамки, паралельно відображаючи анотоване відео у вікні з можливістю зупинки та зберігаючи результат у вихідний відеофайл. Додатково підтримується онлайн-аналіз із камери, коли кадри надходять у реальному часі з вебкамери чи IP-камери (source=0 або мережна адреса), а користувач так само бачить потік із рамками та підписами “Plant disease”. Важливою функцією є автоматичне формування звітів: CSV-файлу з кількістю виявлених уражених ділянок на кожному кадрі та, за потреби, показниками впевненості моделі, а також текстового підсумкового звіту з узагальненням загальної кількості кадрів, кадрів з ураженнями, числа детекцій і середньої кількості спрацювань на кадр, що дає змогу інтерпретувати результати в термінах інтенсивності ураження. Система має бути зрозумілою у використанні: у

кодi чiтко видокремлюються блоки налаштування шляхiв до вiдео й моделi, запуску детекцiї, вiзуалiзацiї та запису результатiв, що полегшує навчальне застосування й подальший розвиток прототипу. Обов'язковою є стiйкiсть до помилок: при вiдсутностi або некоректностi вiдеофайлу, моделi чи камери програма повинна видавати iнформативнi повiдомлення й коректно завершувати роботу без аварiй. У пiдсумку синтез системи фiксує цiлi її впровадження, основнi вимоги до вiдеоданих i спектр функцiй – вiд офлайн- й онлайн-аналiзу до вiзуалiзацiї та формування звiтiв, створюючи основу для детальнoго опису реалiзацiї й експериментальної перевiрки ефективностi обраних методiв.

3.2.3 Вимоги до iнформацiйного, програмного та технiчного забезпечення

Iнформацiйне, програмне й технiчне забезпечення системи детекцiї захворювань у рослин у вiдеопотоцi взаємопов'язанi: якiсть вхiдних даних, коректнiсть роботи програмних компонентiв та продуктивнiсть апаратної платформи безпосередньо визначають загальну ефективнiсть прототипу. Нижче вимоги сформульовано *конкретно для тiєї системи, яку ми реалiзували* (Python-скрипт main.py з використанням YOLOv8, OpenCV та можливiстю аналізу файлу video.mp4 чи потоку з камери).

Технiчне забезпечення на цьому рiвнi описується загальними характеристиками: наявнiсть ПК або ноутбука iз достатньою продуктивнiстю для обробки вiдео в реальному часi або близькому до нього режимi, наявнiсть камери (якщо використовується онлайн-монiторинг) та стабiльне живлення й мережеве пiдключення (за потреби вiддаленого доступу до результатiв). Деталiзований вибiр апаратних засобiв подається у пiдроздiлi 3.3, тут же фiксується загальна вимога: система повинна стабiльно працювати на типових навчальних або офiсних конфiгурацiях без потреби у дорогих спецiалiзованих серверах.

Таблиця 3.1 – Інформаційне та програмне забезпечення системи детекції

Компонент	Конкретизація для розробленої системи
Вхідні дані	Відеофайл video.mp4 з рослинами (формат MP4, H.264)
Модель детекції	yolov8n.pt (базова модель) або best.pt (навчена на хворобах)
Основний модуль	main.py (Python-скрипт із логікою захоплення, детекції, візуалізації)
Бібліотеки	ultralalytics, opencv-python, numpy, (опційно pandas)
Вихідні відеодані	output.avi (анотоване відео з рамками й підписами)
Вихідні звіти	report.csv, report.txt
ОС	Windows 10/11
Спосіб запуску	python main.py або подвійний клік по run_detector.bat

3.2.4 Вимоги до зберігання даних та захисту інформації

Хоча розроблена система не працює з персональними даними і не оперує конфіденційною інформацією, коректна організація зберігання даних і базові заходи захисту інформації є обов’язковими з позицій надійності та відтворюваності експериментів.

По-перше, структура каталогів має бути стабільною, щоб забезпечити однозначний пошук вхідних і вихідних файлів. Для експериментів доцільно передбачити окремі папки:

- input_videos/ – сирі відеофайли;
- models/ – файли моделей (yolov8n.pt, best.pt);
- results/ – результати запусків (окремі підкаталоги за датою/експериментом);
- logs/ – текстові журнали роботи (якщо ведуться).

По-друге, вхідні відео й навчальні дані бажано зберігати у незмінному вигляді, застосовуючи модель “тільки читання” для оригінальних файлів. Усі перетворення (екстракція кадрів, анотації, навчання вибірки) виконуються в копіях, що дозволяє у разі помилки повернутися до первинного стану даних.

По-третє, для забезпечення цілісності результатів рекомендується:

- використовувати зрозумілу систему іменування (experiment_01_output.avi, experiment_01_report.csv);

- фіксувати у звітах ключові налаштування запуску (назва моделі, пороги conf, іou, шлях до відео);
- дублювати результати експериментів на окремому носії (зовнішній диск, хмарне сховище) у разі тривалих серій запусків.
- Заходи захисту інформації в нашому випадку зводяться переважно до:
- обмеження доступу до робочої папки для сторонніх користувачів (стандартні засоби ОС);
- використання антивірусного захисту та регулярного оновлення системи;
- уникнення зберігання навчальних та експериментальних даних на незахищених зовнішніх носіях без резервного копіювання.

Таким чином, система організує зберігання даних локально, у межах робочого каталогу, з чітким розмежуванням “вхідних” і “вихідних” файлів, а також з базовим рівнем захисту, достатнім для навчальних і лабораторних сценаріїв.

3.2.5 Вимоги до ергономіки та зручності використання системи

Оскільки розроблена система орієнтована як на інженерів/студентів, так і на потенційних агрономів-користувачів, які не мають глибоких знань у програмуванні, важливо забезпечити мінімальний поріг входу й зрозумілу взаємодію з програмою.

З точки зору запуску передбачається два основні сценарії:

1. запуск із командного рядка: користувач відкриває термінал у робочій папці й виконує команду `python main.py`;
2. запуск подвійним кліком по ярлику/скрипту `run_detector.bat`, який автоматично запускає інтерпретатор Python із потрібними параметрами.

У конфігураційній частині `main.py` або в окремому файлі (наприклад `config.py`) користувач бачить у верхній частині декілька зрозумілих параметрів, які можна змінювати без заглиблення в код:

- `model_path = "yolov8n.pt"` або `"runs/detect/train/weights/best.pt"`;
- `source = "video.mp4"` або `0` для вебкамери;
- `save_output = True/False`;

— `output_path = "output.avi"`.

Графічний інтерфейс (вікно OpenCV) забезпечує:

- чітке відображення рамок навколо виявлених “уражених ділянок”;
- текстовий підпис над рамкою з класом та впевненістю (у нашій системі – узагальнений напис “Plant disease 0.85” тощо);
- підказку про можливість завершення роботи (натискання клавіші ESC).

Важливо, що інформаційне навантаження на кадр не повинно бути надмірним: кольори рамок підбираються контрастними й однаковими для всіх детекцій, щоб не перевантажувати користувача; кількість тексту на екрані мінімізується. Основні агреговані показники передаються через звіти, а не через вікно відео.

Таблиця 3.2 – Ергономічні вимоги до системи

Аспект	Реалізація в системі
Запуск	Через <code>python main.py</code> або подвійний клік по <code>run_detector.bat</code>
Налаштування	Параметри вгорі <code>main.py</code> (шлях до моделі, відео, пороги, збереження)
Інтерфейс	Одне відеовікно з рамками й підписами, повідомлення в консолі
Завершення роботи	Натискання ESC, коректне звільнення ресурсів
Інформування	Вивід у консоль: завантаження моделі, відкриття відео, завершення, звіт
Когнітивне навантаження	Мінімум тексту на кадрі, єдиний колір рамок, виразні підписи

3.2.6 Розробка схеми функціональної структури системи детекції

Функціональну структуру системи можна описати як послідовність модулів, через які проходить відеопотік від моменту захоплення до формування звіту.

Джерело відео (файл/камера) → Модуль захоплення кадрів → Модуль детекції YOLO → Модуль візуалізації (рамки + відеофайл) → Користувач

Модуль детекції → Модуль збору статистики → Модуль формування звітів → `report.csv`, `report.txt`

У табл. 3.3 наведено відповідність між функціональними модулями та конкретними фрагментами реалізації в системі.

Таблиця 3.3 – Функціональна структура розробленої системи

Функціональний модуль	Засоби реалізації у прототипі
Захоплення відео	cv2.VideoCapture(source), цикл while True: ret, frame = cap.read()
Завантаження моделі	model = YOLO(model_path) (бібліотека Ultralytics)
Детекція на кадри	results = model(frame, conf=..., iou=...), обхід res.bboxes
Візуалізація	cv2.rectangle, cv2.putText, cv2.imshow, cv2.VideoWriter
Керування сеансом	Перевірка if cv2.waitKey(1) & 0xFF == 27: (вихід по ESC)
Збір статистики	Лічильники кількості детекцій/кадрів у тілі циклу
Формування звітів	Запис у report.csv (через csv/pandas) і короткий report.txt

Така структуризація дозволяє чітко бачити, які частини коду за що відповідають, і за потреби замінювати або розширювати окремі модулі без повної переробки системи (наприклад, замінити YOLOv8 на іншу модель чи додати веб-інтерфейс візуалізації).

3.3 Вибір та обґрунтування застосування апаратних засобів

Апаратна платформа для системи детекції захворювань у рослин у відеопотоці має забезпечувати можливість обробки кадрів із прийнятною швидкістю при використанні моделі YOLOv8 та бібліотеки OpenCV. З огляду на те, що розроблений прототип орієнтується на навчальні й лабораторні умови, цільовою є конфігурація, доступна у звичайній комп'ютерній аудиторії або у фахівця-практика.

Як базову апаратну платформу можна прийняти персональний комп'ютер або ноутбук із такими орієнтовними характеристиками у табл. 3.4 наведено мінімальні та рекомендовані апаратні конфігурації для нашого прототипу.

Таблиця 3.4 – Мінімальні та рекомендовані апаратні вимоги

Компонент	Мінімальна конфігурація	Рекомендована конфігурація
Процесор (CPU)	Intel Core i3 / Ryzen 3 (2–4 ядра)	Intel Core i5–i7 / Ryzen 5–7 (4–8 ядер)
Оперативна пам'ять	8 ГБ	16 ГБ
Накопичувач	HDD/SSD 256 ГБ	SSD 512 ГБ і більше
Відеокарта (GPU)	Інтегрована графіка (обробка YOLO на CPU)	NVIDIA GTX 1650/1660 або вище (прискорення YOLO на GPU)
Камера	Вебкамера 720р	Камера 1080р (стаціонарна або USB)
Монітор	19–21" із роздільною здатністю 1366×768 і вище	22–24" Full HD для комфортної візуалізації

Вибір саме такої апаратної конфігурації обумовлений кількома факторами. По-перше, моделі сімейства YOLOv8n/YOLOv8s є порівняно “легкими” й можуть виконуватися в реальному часі навіть на середньому CPU, якщо роздільна здатність кадру не перевищує Full HD. По-друге, наявність дискретного GPU не є жорсткою вимогою для демонстраційних та навчальних сценаріїв: у найпростішому варіанті система може працювати з частотою 5–10 FPS на CPU, чого достатньо для аналізу повільних змін у теплиці або при покадровому розборі відео. При цьому можливість підключення GPU закладає потенціал для масштабування – у разі переходу до більш важких моделей або великої кількості паралельних відеопотоків.

Щодо камер, обрані параметри (720р як мінімум і 1080р як рекомендація) безпосередньо впливають із вимог до бачення дрібних симптомів хвороб на листках. Занадто низька роздільна здатність (360р або нижче) призводить до втрати деталей, тоді як дуже висока (4K) створює зайве навантаження на обчислювальні ресурси без пропорційного виграшу в умовах нашого прототипу.

Важливу роль відіграє SSD-накопичувач: при записі анотованого відео (output.avi) і формуванні звітів система працює із значними обсягами даних. Твердотільний диск забезпечує швидке читання/запис і зменшує “вузькі місця” вводу-виводу, особливо при тривалих експериментах із декількома відеофайлами.

Таким чином, апаратні засоби, обрані для реалізації прототипу, забезпечують баланс між доступністю й продуктивністю: система може бути розгорнута на типовому комп'ютері в лабораторії чи господарстві без спеціалізованого

обладнання, але водночас має резерв для прискорення за рахунок GPU й масштабування для обробки складніших сценаріїв відеомоніторингу стану рослин.

3.4 Синтез структурної схеми системи детекції за заданими показниками

Синтез структурної схеми системи детекції передбачає побудову такої архітектури, яка забезпечує досягнення цільових показників якості та продуктивності, визначених у попередніх підрозділах. Для нашого прототипу ключовими показниками є: достатній рівень точності (precision, recall, mAP) у виявленні уражених ділянок, можливість обробляти відео в режимі офлайн і онлайн зі швидкістю, прийнятною для моніторингу (не менше 5–10 FPS на середній конфігурації), а також формування зрозумілих для користувача візуальних і табличних результатів.

Структурна схема системи будується навколо послідовного конвеєра обробки даних, де кожен етап має чітко визначений вхід, вихід і функцію. З погляду реалізації в main.py це один основний цикл, але логічно він розпадається на декілька модулів: модуль захоплення відео, модуль попередньої підготовки, модуль детекції, модуль візуалізації й запису відео та модуль збору статистики/формування звітів. Кожен із цих модулів пов'язаний із певними вимогами до показників.

На вході структурної схеми знаходиться блок “Джерело відео”, який може бути завантаженим відеофайлом (video.mp4) або потоком із камери. Він пов'язаний із блоком “Відеозахоплення (VideoCapture)”, де OpenCV відкриває джерело та генерує послідовність кадрів. На цьому етапі контролюються такі характеристики, як фактична частота кадрів, роздільна здатність і стабільність потоку. Якщо відео надто велике або має нестандартні параметри, можливе масштабування кадрів до робочого розміру (наприклад, 1280×720) у цьому ж блоці для зменшення навантаження на детектор.

Наступний блок – “Модуль детекції (YOLOv8)”. Саме тут реалізується основна функція системи: на кожен кадр подається модель YOLO, яка повертає набір рамок і оцінок впевненості. Якість роботи цього блоку визначається

показниками mAP, precision і recall, які оцінювалися на етапі експериментальних досліджень. Щоб забезпечити потрібну швидкість, у схемі не передбачається додаткових громіздких перетворень між кадром і моделлю: більшість попередньої обробки (масштабування й нормалізація) виконуються бібліотекою Ultralytics всередині виклику `model(frame, ...)`. Це мінімізує накладні витрати й дозволяє досягти максимально можливого FPS на вибраній апаратній платформі.

Результати детекції надходять у блок “Візуалізація та запис відео”, де поверх кадру малюються рамки й підписи, а потім кадр відображається у вікні й, за потреби, записується до файлу `output.avi`. Цей блок впливає на загальну латентність системи (надто “важка” візуалізація може зменшити FPS), тому реалізація зведена до простих операцій малювання прямокутників і написів засобами OpenCV. У цьому ж блоці реалізується контроль завершення роботи (натискання ESC), що забезпечує зручність використання прототипу.

Паралельно з візуалізацією кадр і пов’язані з ним детекції надходять у блок “Збір статистики”. Тут підраховується кількість виявлених уражених ділянок на кадр, за потреби обчислюються прості агрегати (наприклад, загальна кількість детекцій за сеанс, середня кількість детекцій на кадр). Після завершення обробки відео блок “Формування звітів” створює файл `report.csv` із помірно детальною статистикою по кадрах і текстовий звіт `report.txt` із сумарними показниками. Ці блоки відповідають за “аналітичну” складову системи й дозволяють інтерпретувати роботу детектора не лише візуально, а й кількісно.

Щоб показати, як структурні рішення підтримують цільові показники, доцільно сформувані відповідності між показниками якості/продуктивності та архітектурними рішеннями. Це узагальнено у табл. 3.5.

Таблиця 3.5 – Відповідність цільових показників і структурних рішень системи

Цільовий показник	Структурне рішення в системі
mAP, precision, recall	Використання YOLOv8 як основного детектора, можливість підмінити yolov8n.pt на best.pt, навчений на доменних даних
FPS (швидкодія)	Прямий виклик model(frame, ...) без зайвих перетворень, робота з 720p/1080p, оптимізація розміру моделі (YOLOv8n)
Низька латентність	Послідовна обробка в одному циклі, мінімалістична візуалізація, запис відео у форматі AVI із простим кодеком
Надійність та відтворюваність	Чітка послідовність блоків: відеозахоплення → детекція → візуалізація → звіт; фіксація налаштувань у звіті
Зручність використання	Окремі блоки для налаштування джерела відео і моделі, запуск через main.py або .bat, завершення по ESC
Масштабованість (GPU/інші джерела)	Логічне розділення модулів: заміна source (файл/камера/IP-камера), можливість передати device="cuda" для моделі

Таким чином, синтез структурної схеми демонструє, що обрані апаратні засоби, програмна архітектура та функціональне розбиття системи узгоджуються з вимогами до якості, швидкодії й зручності використання прототипу системи детекції захворювань у рослин у відеопотоці.

РОЗДІЛ 4

РОЗРОБКА ПРОГРАМНОГО ЗАБЕЗПЕЧЕННЯ СИСТЕМИ ДЕТЕКЦІЇ ЗАХВОРЮВАНЬ У РОСЛИН

4.1 Призначення й область застосування програмного забезпечення

Розроблене програмне забезпечення призначене для автоматизованого виявлення ознак захворювань на рослинах за відеозображенням у режимі офлайн- та онлайн-моніторингу. Його основна функція полягає в тому, щоб перетворити звичайний відеопотік з камери або попередньо записаного файлу на інструмент об'єктивної діагностики: кадри аналізуються моделлю детекції об'єктів, уражені ділянки листків виділяються рамками, а результати зберігаються у вигляді анотованого відео та числових звітів. Програма орієнтована насамперед на підтримку прийняття рішень агрономами, дослідниками та студентами, які працюють з рослинними культурами у тепличних комплексах, на дослідних ділянках або в лабораторних умовах.

Область застосування програмного забезпечення охоплює як навчальні, так і прикладні сценарії. У навчальному процесі система може використовуватися як наочний приклад застосування методів комп'ютерного зору та глибинного навчання до задач аграрної галузі. Студенти мають змогу простежити повний цикл обробки даних: від отримання відео з рослинами до накладання рамок і генерації звітів, а також експериментувати з порогамі впевненості, різними моделями YOLO та власними наборами даних. У науково-дослідній роботі програмне забезпечення може бути використане для автоматизації вимірювання інтенсивності ураження, порівняння різних сортів або технологій обробітку, а також для побудови часових рядів, що відображають динаміку розвитку хвороб.

У практичних аграрних господарствах прототип може виконувати роль “першої лінії” моніторингу: система аналізує відео з однієї або кількох камер, встановлених у теплиці чи на обмеженій ділянці поля, і виділяє зони з потенційними проблемами. Це дає можливість агроному сконцентрувати увагу на

тих місцях, де програма зафіксувала підвищену кількість детекцій, замість суцільного ручного огляду всієї площі. Водночас розроблене програмне забезпечення не претендує на роль кінцевої медичної або фітосанітарної діагностики; воно виступає інструментом попереднього виявлення та візуальної аналітики, який інтегрується в більш широкий процес прийняття рішень щодо захисту рослин.

Програмний модуль побудований так, що може працювати з різними джерелами відео: локальним файлом (наприклад, video.mp4), потоком із вебкамери або IP-камери. Завдяки цьому його можна адаптувати як до лабораторної установки з невеликою ділянкою листової поверхні в кадрі, так і до більш масштабних сценаріїв, наприклад, аналізу відео з дронів, які пролітають над насадженнями. Структура коду та формат звітів дають змогу інтегрувати результати в інші системи обробки даних або інформаційно-аналітичні панелі.

4.2 Обґрунтування вибору програмних засобів та бібліотек (Python, OpenCV, Ultralytics YOLO тощо)

Вибір програмних засобів для реалізації системи детекції захворювань у рослин у відеопотоці зумовлений вимогами до гнучкості, доступності, продуктивності та підтримки сучасних алгоритмів комп'ютерного зору. Як основну мову програмування обрано Python, оскільки вона має розвинену екосистему бібліотек для машинного навчання, комп'ютерного зору та обробки даних, є кросплатформенною і широко використовується як у наукових дослідженнях, так і в навчальному процесі. Python дозволяє швидко прототипувати алгоритми, легко інтегрувати моделі глибокого навчання, працювати з файлами та формувати звіти без потреби у складній інфраструктурі.

Ключову роль у роботі з відео відіграє бібліотека OpenCV, яка використовується для захоплення відеопотоку з файлу або камери, конвертації форматів, масштабування, відображення кадрів і запису вихідного відео з нанесеними рамками. Саме OpenCV забезпечує інтерфейс VideoCapture для

зручного доступу до кадрів, а також засоби візуалізації, необхідні для відображення результатів детекції у вигляді прямокутників і текстових підписів. Додатковою перевагою OpenCV є його оптимізована реалізація на рівні C/C++, що дозволяє досягати прийнятної швидкодії навіть на звичайному процесорі без GPU.

Для реалізації власне детекції об'єктів обрано стек Ultralytics YOLO. Це сучасна імплементація моделей сімейства YOLO, яка надає простий високорівневий інтерфейс для завантаження, навчання та застосування моделей детекції. У контексті цієї роботи використовується як базова модель yolov8n.pt, так і можливість підключити навчений на спеціальному датасеті файл best.pt, що дозволяє адаптувати систему саме до завдань розпізнавання ознак захворювань на рослинах. Перевагою бібліотеки Ultralytics є інкапсуляція більшості низькорівневих операцій: розробнику достатньо викликати модель на кадрі, вказавши параметри впевненості та IoU, і отримати готові результати у вигляді координат рамок та оцінок впевненості.

У проєкті також використовуються стандартні бібліотеки Python, зокрема csv для формування покадрових табличних звітів і time для вимірювання продуктивності та обчислення середнього FPS. Завдяки цьому результати роботи детектора не обмежуються візуальним ефектом, а набувають форми числових даних, які можна імпортувати в інші інструменти аналізу, наприклад у середовище статистичної обробки або електронні таблиці. За потреби до стеку легко додаються додаткові пакети, такі як pandas для розширеного аналізу або побудови графіків.

Обраний набір інструментів є компромісом між простотою розгортання й потужністю. Python, OpenCV та Ultralytics YOLO не вимагають дорогого ліцензійного ПЗ, працюють на поширених операційних системах і підтримуються великою спільнотою, що важливо для тривалої експлуатації та можливості розвитку системи. Для навчання студентів та проведення експериментів у наукових лабораторіях це особливо цінно, оскільки дозволяє зосередитися на дослідницьких питаннях, а не на подоланні технічних бар'єрів. Таким чином, вибір саме цього програмного стеку є логічним з огляду на поставлені завдання, обмеження ресурсів і вимоги до масштабованості та модифікованості системи.

4.3 Опис розробленої програми

Розроблена програма реалізує прототип системи автоматичного виявлення захворювань у рослин у відеопотоці на основі моделі YOLOv8 та бібліотеки OpenCV. Уся логіка зосереджена в одному основному файлі main.py, який відповідає за завантаження моделі, захоплення відео з файлу або камери, покадровий запуск детектора, візуалізацію результатів та формування звітів. Користувач працює з програмою через мінімальний текстовий інтерфейс: у верхній частині коду задає шлях до відео та моделі, а далі система автоматично виконує всі кроки аналізу.

З погляду внутрішньої структури програма побудована як обробний конвеєр. На вхід подається відеоджерело, OpenCV читає кадри, кожен кадр передається в модель YOLOv8, результати детекції перетворюються у графічні елементи (рамки та підписи), кадр показується у вікні й за потреби записується у вихідний відеофайл. Паралельно програма накопичує статистику за кількістю виявлених уражених ділянок на кожному кадрі та після завершення роботи формує CSV-таблицю та текстовий підсумковий звіт.

У табл. 4.1 узагальнено основні етапи роботи програми та їх реалізацію в коді.

Таблиця 4.1 – Основні етапи роботи програми main.py

Етап обробки	Реалізація у програмі	Результат
Ініціалізація параметрів	Оголошення змінних model_path, source, conf, iou	Встановлено шлях до моделі, джерело відео, пороги впевненості та IoU
Завантаження моделі	Виклик model = YOLO(model_path)	Мережа YOLOv8 готова до детекції уражених ділянок
Відкриття відеоджерела	Виклик cv2.VideoCapture(source)	Створено об'єкт для послідовного читання кадрів
Основний цикл обробки	Цикл while True: ret, frame = cap.read()	На кожній ітерації зчитується черговий кадр із відео
Детекція захворювань на кадрі	Виклик results = model(frame, conf=conf, iou=iou)	Отримано набір рамок з координатами та оцінками, які відповідають ураженням
Візуалізація результатів	Виклики cv2.rectangle, cv2.putText	На кадр накладаються зелені рамки й підпис "Plant disease"
Відображення й запис відео	Виклики cv2.imshow, writer.write(frame)	Користувач бачить результат у реальному часі, формується файл output.avi
Збір статистики та формування звіту	Запис у report.csv та report.txt	Збережено числові показники роботи системи

Після завантаження моделі YOLOv8 створюється об'єкт VideoCapture, а при потребі – об'єкт VideoWriter для формування вихідного відео. У головному циклі для кожного кадру здійснюється детекція, на кадр накладаються рамки з підписом “Plant disease” та числовим значенням впевненості, кадр показується у вікні та записується в файл. Паралельно у CSV-таблицю записується кількість детекцій на кожному кадрі, а після завершення аналізу формується текстовий звіт із підсумковими показниками.

Таблиця 4.2 – Структура вихідного CSV-звіту report.csv

Назва поля	Тип даних	Зміст
frame	Ціле	Порядковий номер кадру у відеопотоці
num_detections	Ціле	Кількість виявлених уражених ділянок на відповідному кадрі

Окремі структури даних, які створює програма, також мають чітко визначений формат. Наприклад, CSV-звіт report.csv містить два поля: номер кадру та кількість детекцій на цьому кадрі. Це дозволяє легко завантажити файл у

середовище аналізу (наприклад, Excel або Python/pandas) та побудувати графіки інтенсивності ураження в часі.

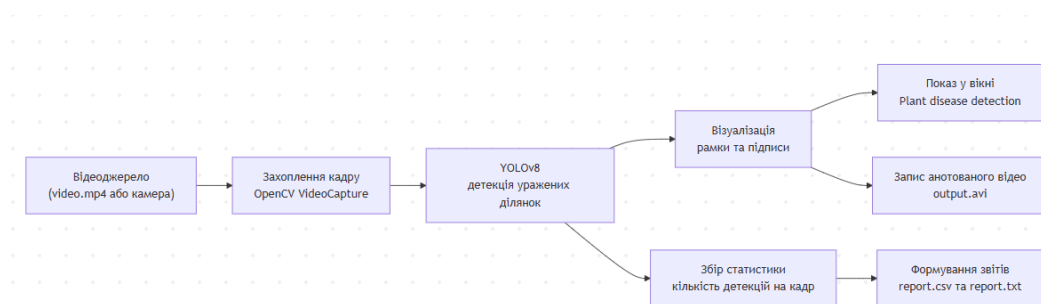


Рисунок 4.1 – Структура вихідного CSV-звіту report.csv

У результаті опис програми відображає повний шлях даних: від надходження відеопотоку до формування візуальних та числових результатів. Така структура дозволяє легко модифікувати систему, замінюючи модель на спеціально навчений варіант best.pt для конкретних культур або розширюючи формат звітів, не змінюючи загальної архітектури коду.

4.3.1 Загальні відомості про архітектуру програмного забезпечення

Архітектура програмного забезпечення системи детекції захворювань у рослин у відеопотоці побудована за принципом простого обробного конвеєра всередині одного основного модуля main.py, але з чітким логічним поділом на конфігураційну, обчислювальну, візуалізаційну та звітну підсистеми. Зовні програма виглядає як один файл, який запускається командою python main.py або подвійним кліком по .bat-файлу, але всередині можна виокремити кілька рівнів.



Рисунок 4.2 – Запуск проєкту

На верхньому рівні знаходиться конфігураційний блок, де задається шлях до моделі YOLO (`model_path`), джерело відео (`source` – або файл `video.mp4`, або камера), числові пороги впевненості та IoU, а також налаштування збереження результатів (`output.avi`, `report.csv`, `report.txt`). Далі йде рівень інтеграції із зовнішніми бібліотеками: Ultralytics забезпечує завантаження моделі та виконання детекції, OpenCV відповідає за захоплення, відображення і запис відео, стандартні бібліотеки Python (`csv`, `time`) використовуються для збору статистики й формування звітів.

Обробка відеопотоку реалізована як головний цикл, що поєднує всі функціональні блоки: захоплення кадру, передавання кадру в модель YOLO, обробку результатів детекції, візуалізацію рамок, запис анотованого відео та накопичення статистики. Взаємодія між окремими частинами мінімалістична і здійснюється через прості структури даних: кадр як матриця пікселів у форматі OpenCV, список детекцій, лічильники кількості спрацювань. Такий підхід дозволяє зберегти архітектуру простою і водночас гнучкою, оскільки заміна моделі (наприклад, `yolov8n.pt` на спеціально навчений `best.pt`) або зміна джерела відео не вимагає перепроєктування всієї системи.

__pycache__	✓	29.11.2025 2:29	Папка файлів	
data	✓	28.11.2025 3:32	Папка файлів	
runs	✓	28.11.2025 3:36	Папка файлів	
data.txt	✓	28.11.2025 2:35	Текстовий документ	1 КБ
data.yaml	✓	28.11.2025 3:35	Yaml Source File	1 КБ
extract_frames.py	✓	28.11.2025 2:53	Python File	1 КБ
main.py	✓	30.11.2025 5:08	Python File	5 КБ
output.avi	✓	30.11.2025 12:25	AVI Video File (VLC)	124 595 КБ
README.txt	✓	30.11.2025 15:46	Текстовий документ	4 КБ
report.csv	✓	30.11.2025 12:25	Файл Microsoft Excel, ...	26 КБ
report.txt	✓	30.11.2025 12:25	Текстовий документ	1 КБ
requirements.txt	✓	28.11.2025 2:14	Текстовий документ	1 КБ
run_interactive.bat	✓	29.11.2025 2:28	Пакетний файл Windo...	1 КБ
run_interactive.py	✓	29.11.2025 2:28	Python File	3 КБ
train_custom.py	✓	28.11.2025 2:14	Python File	2 КБ
video.mp4	✓	28.11.2025 2:48	Файл MP4	201 785 КБ
yolov8n.pt	✓	28.11.2025 2:31	Файл PT	6 397 КБ
детекції рослин.bat	✓	29.11.2025 2:26	Пакетний файл Windo...	1 КБ

Рисунок 4.3 – структура проекту

Для фіксації архітектури зручно використовувати узагальнену таблицю, яка відображає відповідність між логічними рівнями, файлами й бібліотеками прототипу.

Таблиця 4.3 – Архітектурні рівні програмного забезпечення системи

Рівень	Зміст у розробленій системі	Основні засоби реалізації
Конфігураційний	Налаштування моделі, джерела відео, порогів, шляхів до файлів	Верхній блок змінних у main.py
Інтеграційний	Взаємодія з YOLO, OpenCV, файловою системою	Бібліотеки ultralytics, cv2, csv, time
Обробка відеопотоку	Цикл зчитування кадрів, детекція, візуалізація, запис результатів	Функція run_detector()
Аналітичний (звітність)	Збір статистики, формування report.csv і report.txt	Робота з файлами, обчислення підсумкових метрик

4.3.2 Функціональне призначення основних модулів

Кожен логічний модуль розробленої програми виконує чітко визначену функцію: один блок відповідає за отримання відеоданих, інший – за детекцію, наступний – за візуалізацію, а останній – за формування числових звітів. Хоча всі модулі імплементовано в одному файлі `main.py`, їхні ролі легко ідентифікувати за групами операцій.

Модуль захоплення відео реалізовано через об'єкт `cv2.VideoCapture`. Його призначення полягає в тому, щоб перетворити зовнішнє джерело (файл на диску або камеру) на послідовність кадрів, які можна обробляти в циклі. Саме цей модуль контролює, чи вдалося відкрити джерело (`cap.isOpened()`), а отже, відповідає за початкову перевірку доступності відеоданих.

Модуль детекції пов'язаний із моделлю YOLOv8. Після завантаження моделі через `model = YOLO(model_path)` він для кожного кадру виконує виклик `results = model(frame, conf=conf, iou=iou)` і повертає набір виявлених об'єктів із координатами рамок, індексами класів та значеннями впевненості. У контексті цієї роботи усі детекції інтерпретуються як потенційні уражені ділянки рослин, а клас узагальнюється як "Plant disease".

Модуль візуалізації працює з кожним результатом детекції, малюючи рамки та текстові підписи на кадрі. Використовуються стандартні засоби OpenCV: `cv2.rectangle` для прямокутника і `cv2.putText` для підпису. Відповідно до вимог до ергономіки рамки виконуються в одному кольорі (зелений), а підпис містить назву класу та числове значення впевненості. Потім кадр відображається у вікні `cv2.imshow("Plant disease detection", frame)` і, якщо увімкнено запис, передається до `cv2.VideoWriter` для збереження у файл `output.avi`.

Модуль звітності обробляє числові аспекти роботи системи. Для кожного кадру рахується кількість детекцій, значення зберігаються у CSV-файлі, а під час завершення експерименту обчислюються агреговані метрики: загальна кількість кадрів, сумарна кількість детекцій, середня кількість спрацювань на кадр,

приблизний FPS. Саме цей модуль перетворює “сірі” детекції на форму, зручну для подальшого аналізу агрономом або дослідником.

Таблиця 4.4 – Функціональні модулі розробленої програми

Модуль	Призначення в системі	Основні елементи коду
Захоплення відео	Перетворення джерела (файл/камера) на послідовність кадрів	<code>cv2.VideoCapture(source)</code> , цикл <code>cap.read()</code>
Детекція	Виявлення уражених ділянок на кадрі за допомогою YOLOv8	<code>model = YOLO(model_path)</code> , <code>model(frame, ...)</code>
Візуалізація	Малювання рамок і підписів, показ та запис анотованого відео	<code>cv2.rectangle</code> , <code>cv2.putText</code> , <code>cv2.imshow</code>
Звіт	Підрахунок детекцій, формування <code>report.csv</code> і <code>report.txt</code>	Модуль <code>csv</code> , підрахунок лічильників

4.3.3 Опис логічної структури програми та алгоритмів обробки відеопотоку

Логічна структура програми відображає послідовність перетворень, які проходить кожен кадр від моменту зчитування з джерела до формування результатів. Алгоритм обробки відеопотоку можна описати як замкнений цикл, що повторює однакову послідовність дій, поки є нові кадри або поки користувач не зупинить роботу.

Після запуску `main.py` викликається функція `run_detector()`, яка спочатку завантажує модель YOLOv8 і відкриває відеоджерело. Якщо на цьому етапі виникає помилка (модель не знайдена або відеофайл не відкривається), алгоритм одразу завершує роботу з інформативним повідомленням. За нормального сценарію далі стартує головний цикл. На початку кожної ітерації цикл намагається зчитати кадр за допомогою `ret, frame = cap.read()`. Якщо `ret` дорівнює `False`, це означає, що відео закінчилося або камера стала недоступною, і цикл переривається.

У разі успішного зчитування кадр передається до моделі YOLO. Внутрішні процедури Ultralytics виконують всі необхідні перетворення, тож у коді достатньо виклику `results = model(frame, conf=conf, iou=iou)`. Повертається об’єкт, що містить список детекцій. Для кожного виявленого об’єкта зчитуються координати рамки та

значення впевненості, і на цій основі формуються графічні примітиви на кадрі. Паралельно лічильник детекцій на поточному кадрі збільшується на одиницю.

Після обробки всіх рамок кадр передається до вікна OpenCV для відображення і, за потреби, до відеозаписувача. У цей момент виконується опитування клавіатури: якщо користувач натискає клавішу ESC, цикл примусово завершується, навіть якщо відео ще не дійшло до кінця. На кожній ітерації оновлюється загальна статистика за кількістю кадрів та детекцій, що згодом використовується у звіті.

Після завершення циклу програма звільняє ресурси: закриває відеоджерело, зупиняє відеозапис і знищує графічні вікна. Потім, якщо увімкнено режим звітності, створюється фінальний текстовий файл із короткими підсумками, а CSV-файл уже містить покадрову статистику.

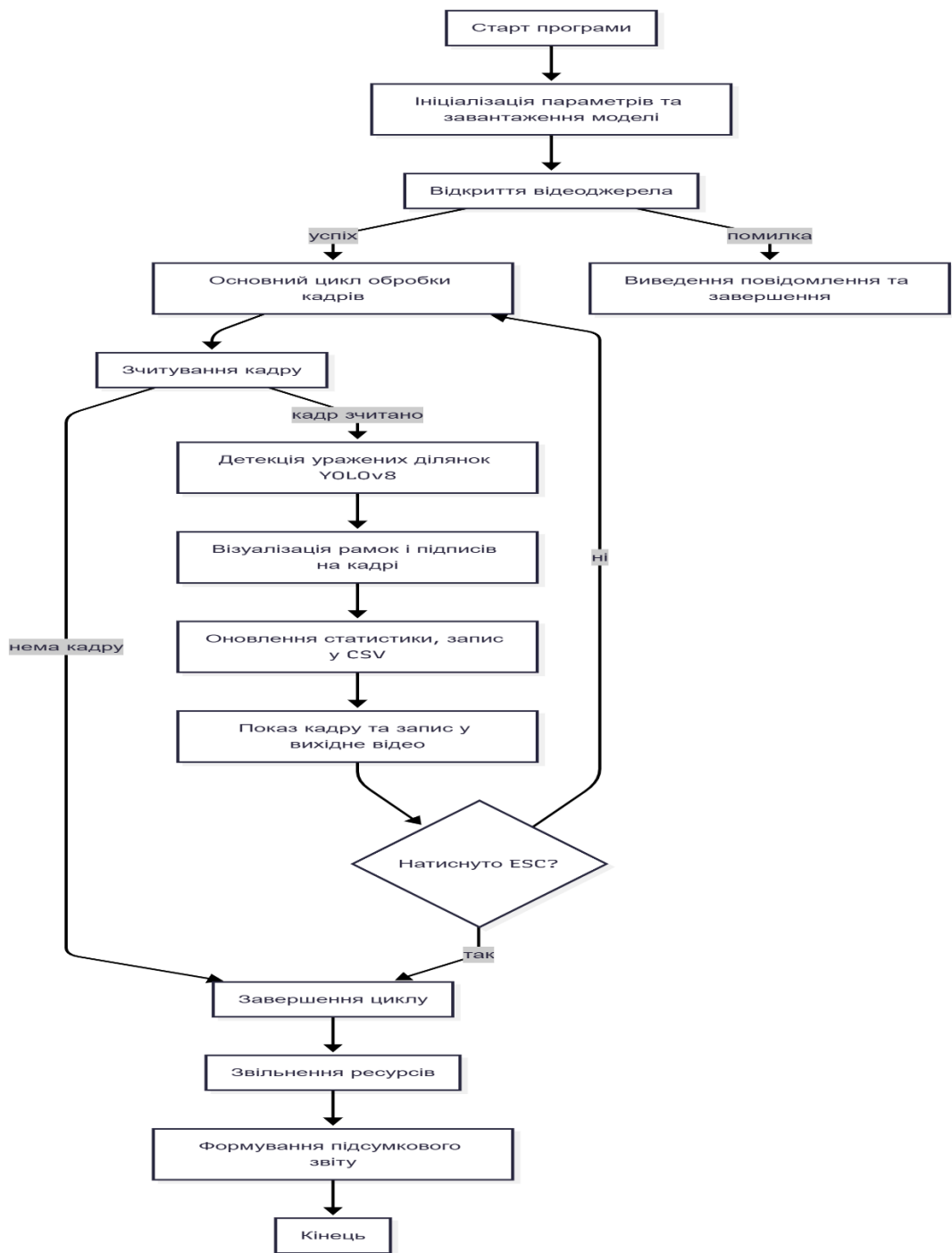


Рисунок 4.4 – Структура роботи програми

4.3.4 Інтерфейс користувача та сценарії використання програмного забезпечення

Інтерфейс користувача у розробленій програмі навмисно зроблено максимально простим, щоб зменшити поріг входу для аграрія, студента або

дослідника, який не є професійним розробником. Основні взаємодії з системою відбуваються через консольні повідомлення та вікно відображення відео, а конфігурація здійснюється шляхом редагування кількох змінних у верхній частині main.py.

Після запуску користувач бачить у консолі інформаційні повідомлення про завантаження моделі, відкриття відеоджерела та шлях, куди буде збережено результати. Якщо щось пішло не так (наприклад, неправильно вказано назву відеофайлу або модель відсутня у каталозі), програма виводить зрозуміле повідомлення українською мовою і коректно завершує роботу. За нормального запуску на екрані відкривається вікно Plant disease detection, у якому в реальному часі відображається відео з накладеними рамками й підписами. Користувач бачить, як система “ловить” уражені ділянки на листках, і може оцінити роботу детектора візуально.



Рисунок 4.5 – Аналіз уражених ділянок

У рамках офлайн-сценарію використання користувач попередньо готує відео з рослинами і зберігає його під назвою video.mp4 у робочій папці. Потім у

конфігураційному блоці переконується, що `source = "video.mp4"`, обирає модель (наприклад, `model_path = "yolov8n.pt"` чи `model_path = "runs/detect/train/weights/best.pt"`), при бажанні змінює порогові значення `conf` і `iou` та запускає програму. Після завершення обробки в папці з'являється файл `output.avi` з анотованим відео і два звіти – таблицний та текстовий.





 output.avi	✓	30.11.2025 12:25	AVI Video File (VLC)	124 595 KB
 README.txt	✓	30.11.2025 15:46	Текстовий документ	4 KB
 report.csv	✓	30.11.2025 12:25	Файл Microsoft Excel, ...	26 KB
 report.txt	✓	30.11.2025 12:25	Текстовий документ	1 KB

Рисунок 4.6 – Формування звітів

У сценарії онлайн-моніторингу користувач змінює параметр `source` на 0, підключає вебкамеру, розташовує її так, щоби в кадрі були рослини, і запускає програму. Далі система в реальному часі показує потік із рамками. Користувач може змінювати положення камери, наближати або віддаляти рослини, щоби перевірити чутливість детектора. Зручність такого сценарію полягає в інтерактивності: буквально “на очах” видно, як змінюється кількість детекцій при зміні умов зйомки.

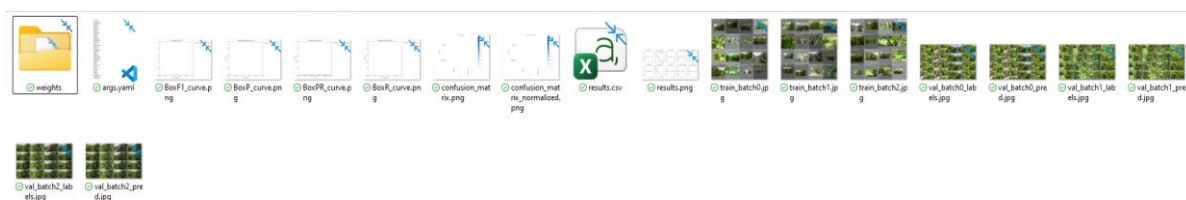


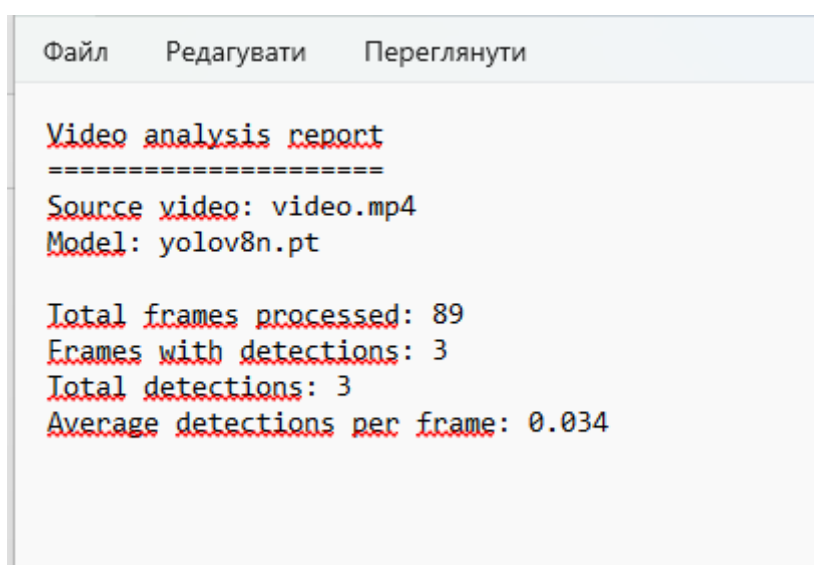
Рисунок 4.7 – Результати навчання і формування бази

Такий підхід добре демонструє, як додаткове навчання на власних даних покращує відповідність рамок реальним ураженням.

```
0: 384x640 (no detections), 33.9ms
Speed: 1.4ms preprocess, 33.9ms inference, 0.4ms postprocess per image at shape (1, 3, 384, 640)
[INFO] Done.
[INFO] Reports saved as report.csv and report.txt
Press any key to continue . . . |
```

Рисунок 4.8 – Формування підсумкового звіту

Завершення роботи завжди здійснюється в один і той самий спосіб: користувач натискає клавішу ESC, після чого програма зупиняє обробку, відпускає ресурси та генерує підсумковий звіт.



```
Файл  Редагувати  Переглянути

Video analysis report
=====
Source video: video.mp4
Model: yolov8n.pt

Total frames processed: 89
Frames with detections: 3
Total detections: 3
Average detections per frame: 0.034
```

Рисунок 4.9 – Текстовий звіт

Така уніфікованість поведінки робить інтерфейс передбачуваним і інтуїтивно зрозумілим навіть при першому використанні.

4.3.5 Використані технічні та програмні засоби для розробки і тестування

Розробка і тестування програмного забезпечення системи детекції захворювань у рослин здійснювалися на типовій навчальній конфігурації: операційна система Windows 10/11, інтерпретатор Python версії 3.10–3.12, встановлені бібліотеки Ultralytics та OpenCV, а також середовище розробки на

кшталт Visual Studio Code або PyCharm. Для відтворення середовища достатньо мати доступ до командного рядка, можливість встановлювати пакети через pip і веббраузер для завантаження додаткових інструментів (наприклад, LabelImg для розмітки кадрів).

Спочатку створюється віртуальне середовище (за бажанням), після чого встановлюються основні залежності:

```
pip install ultralytics opencv-python
```

За потреби додаються додаткові бібліотеки, наприклад pandas для розширеного аналізу звітів:

```
pip install pandas
```

Далі в IDE або файлового менеджера створюється структура папок: файл main.py, відеофайл video.mp4, каталог для моделей (наприклад, models/ або runs/detect/train/weights/), каталог для результатів results/.

```
Epoch   GPU_mem  box_loss  cls_loss  dfl_loss  Instances  Size  33/33 4.1s/it 2:15
2/10    8G        0       70.26      0          0          640 100%
Class   Images Instances Box(P)  R   mAP50  mAP50-95: 6%
58-95): 12%
Box(P)  R   mAP50  mAP50-95: 24%
4/17 2.5s/it 7.6s<32
Class   Images Instances Box(P)  R   mAP50  mAP50-95: 18%
3/17 2.9s/it 5.7s<40
Class   Images Instances Box(P)  R   mAP50  mAP50-95: 29%
5/17 2.3s/it
9.5s<27
Class   Images Instances Box(P)  R   mAP50  mAP50-95: 35%
6/17 2.2s/it 11.4s<2
Class   Images Instances Box(P)  R   mAP50  mAP50-95: 47%
8/17 2.0s/it 15.2s<1
ages Instances Box(P)  R   mAP50  mAP50-95: 53%
9/17 2.0s/it 17.1s<1
Class   Images Instances Box(P)  R   mAP50  mAP50-95: 59%
10/17 2.0s/it 19.8s<
Class   Images Instances Box(P)  R   mAP50  mAP50-95: 65%
11/17 1.9s/it 20.9s<
Class   Images Instances Box(P)  R   mAP50  mAP50-95: 70%
13/17 1.9s/it 24.7s<
s Images Instances Box(P)  R   mAP50  mAP50-95: 82%
14/17 1.5s/it 26.7s<
Class   Images Instances Box(P)  R   mAP50  mAP50-95: 88%
16/17 1.9s/it 28.6s<
Class   Images Instances Box(P)  R   mAP50  mAP50-95: 100%
17/17 1.8s/it 30.8s
C:\Users\Asus\AppData\Local\Packages\PythonSoftwareFoundation.Python.3.11.qbz5n2kfra8p0\LocalCache\local-packages\Python311\site-packages\ultralytics\utils\metrics.py:832: RuntimeWarning: Mean of empty slice.
i = smooth(F1_curve.mean(0), 0.1).argmax() # max F1 index
C:\Users\Asus\AppData\Local\Packages\PythonSoftwareFoundation.Python.3.11.qbz5n2kfra8p0\LocalCache\local-packages\Python311\site-packages\numpy\core\_methods.py:137: RuntimeWarning: invalid value encountered in divide
ret = um.true_divide(
    all
    518      0      0      0      0
WARNING no labels found in detect set, can not compute metrics without labels
Epoch   GPU_mem  box_loss  cls_loss  dfl_loss  Instances  Size  33/33 4.3s/it 2:22
3/10    8G        0       88.3       0          0          640 100%
Class   Images Instances Box(P)  R   mAP50  mAP50-95: 100%
17/17 2.0s/it 30.2s
C:\Users\Asus\AppData\Local\Packages\PythonSoftwareFoundation.Python.3.11.qbz5n2kfra8p0\LocalCache\local-packages\Python311\site-packages\ultralytics\utils\metrics.py:832: RuntimeWarning: Mean of empty slice.
i = smooth(F1_curve.mean(0), 0.1).argmax() # max F1 index
C:\Users\Asus\AppData\Local\Packages\PythonSoftwareFoundation.Python.3.11.qbz5n2kfra8p0\LocalCache\local-packages\Python311\site-packages\numpy\core\_methods.py:137: RuntimeWarning: invalid value encountered in divide
ret = um.true_divide(
    all
    518      0      0      0      0
WARNING no labels found in detect set, can not compute metrics without labels
Epoch   GPU_mem  box_loss  cls_loss  dfl_loss  Instances  Size  33/33 4.4s/it 2:25
4/10    8G        0       47.89      0          0          640 100%
Class   Images Instances Box(P)  R   mAP50  mAP50-95: 100%
17/17 2.1s/it 36.5s
C:\Users\Asus\AppData\Local\Packages\PythonSoftwareFoundation.Python.3.11.qbz5n2kfra8p0\LocalCache\local-packages\Python311\site-packages\ultralytics\utils\metrics.py:832: RuntimeWarning: Mean of empty slice.
i = smooth(F1_curve.mean(0), 0.1).argmax() # max F1 index
C:\Users\Asus\AppData\Local\Packages\PythonSoftwareFoundation.Python.3.11.qbz5n2kfra8p0\LocalCache\local-packages\Python311\site-packages\numpy\core\_methods.py:137: RuntimeWarning: invalid value encountered in divide
ret = um.true_divide(
    all
    518      0      0      0      0
```

Рисунок 4.10 – Консольні логи навчання моделі YOLOv8 з попередженням про відсутність розмітки у валідаційному наборі

Навчання моделі для спеціальної детекції захворювань здійснюється на основі кадрів, які попередньо отримано з відео й розмічено за допомогою LabelImg.

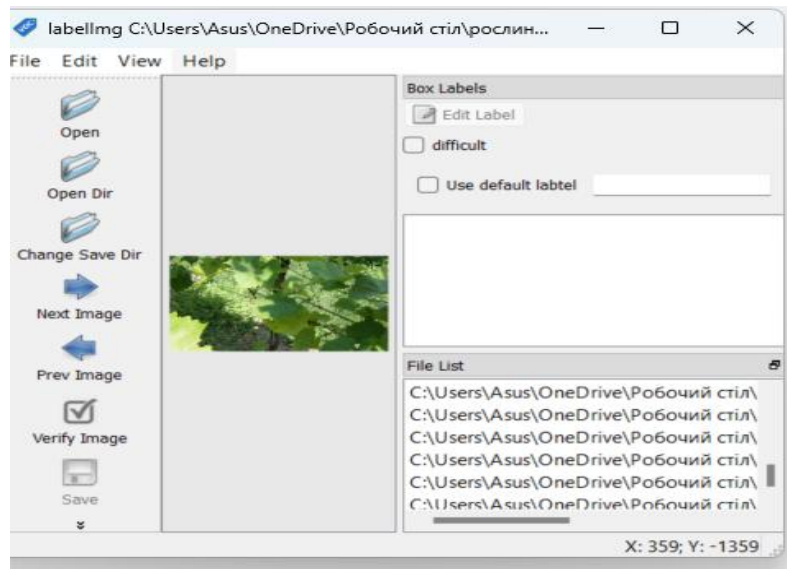


Рисунок 4.11 – Інтерфейс програми LabelImg під час анотації зображень рослин для навчання моделі детекції

Зображення розташовуються у папці `datasets/plant_disease/images`, а відповідні текстові анотації у форматі YOLO – у `datasets/plant_disease/labels`. Після цього запускається навчання за допомогою інтерфейсу Ultralytics. Приблизна команда може мати вигляд:

```
yolo detect train \  
  data=plant_disease.yaml \  
  model=yolov8n.pt \  
  epochs=50 \  
  imgsz=640
```

	from	n	params	module	arguments
0	-1	1	464	ultralytics.nn.modules.conv.Conv	[3, 16, 3, 2]
1	-1	1	4672	ultralytics.nn.modules.conv.Conv	[16, 32, 3, 2]
2	-1	1	7360	ultralytics.nn.modules.block.C2f	[32, 32, 1, True]
3	-1	1	18560	ultralytics.nn.modules.conv.Conv	[32, 64, 3, 2]
4	-1	2	49664	ultralytics.nn.modules.block.C2f	[64, 64, 2, True]
5	-1	1	73984	ultralytics.nn.modules.conv.Conv	[64, 128, 3, 2]
6	-1	2	197632	ultralytics.nn.modules.block.C2f	[128, 128, 2, True]
7	-1	1	295424	ultralytics.nn.modules.conv.Conv	[128, 256, 3, 2]
8	-1	1	460288	ultralytics.nn.modules.block.C2f	[256, 256, 1, True]
9	-1	1	164608	ultralytics.nn.modules.block.SPPF	[256, 256, 5]
10	-1	1	0	torch.nn.modules.upsampling.Upsample	[None, 2, 'nearest']
11	[-1, 6]	1	0	ultralytics.nn.modules.conv.Concat	[1]
12	-1	1	148224	ultralytics.nn.modules.block.C2f	[384, 128, 1]
13	-1	1	0	torch.nn.modules.upsampling.Upsample	[None, 2, 'nearest']
14	[-1, 4]	1	0	ultralytics.nn.modules.conv.Concat	[1]
15	-1	1	37248	ultralytics.nn.modules.block.C2f	[192, 64, 1]
16	-1	1	36992	ultralytics.nn.modules.conv.Conv	[64, 64, 3, 2]
17	[-1, 12]	1	0	ultralytics.nn.modules.conv.Concat	[1]
18	-1	1	123648	ultralytics.nn.modules.block.C2f	[192, 128, 1]
19	-1	1	147712	ultralytics.nn.modules.conv.Conv	[128, 128, 3, 2]
20	[-1, 9]	1	0	ultralytics.nn.modules.conv.Concat	[1]
21	-1	1	493056	ultralytics.nn.modules.block.C2f	[384, 256, 1]
22	[15, 18, 21]	1	751507	ultralytics.nn.modules.head.Detect	[1, [64, 128, 256]]

Model summary: 129 layers, 3,011,043 parameters, 3,011,027 gradients, 8.2 GFLOPs

Рисунок 4.12 – Структура моделі YOLOv8 (консольний підсумок кількості шарів і параметрів)

Для тестування прототипу використовувалися як заздалегідь записані відео (наприклад, відео виноградника або тепличних рослин, збережені у файл video.mp4), так і потокове відео з вебкамери. Процедура тестування включала запуск програми з різними параметрами conf і iou, порівняння візуальних результатів, аналіз таблиці report.csv у табличному редакторі та перевірку стабільності роботи при неправильних налаштуваннях (наприклад, навмисне вказування неіснуючого відеофайлу, щоб перевірити обробку помилок).

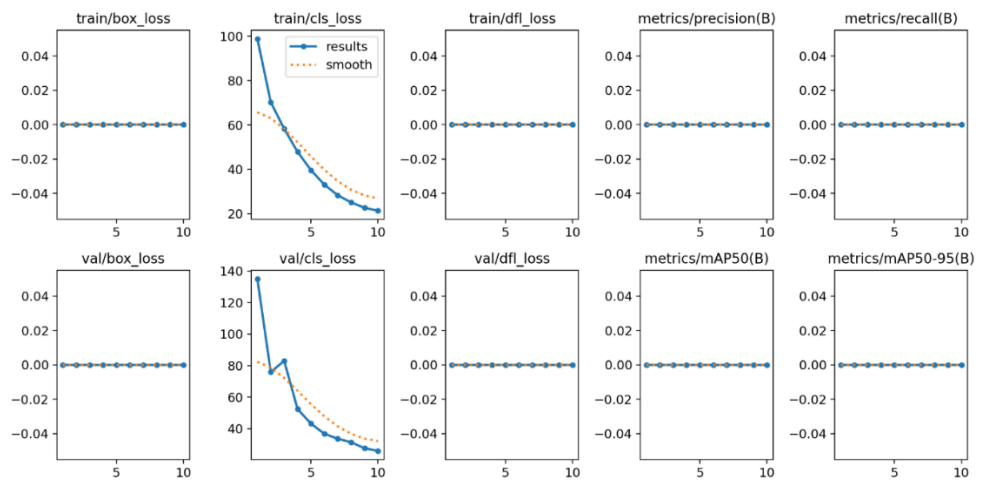


Рисунок 4.13 – Динаміка функцій втрат і метрик якості моделі YOLOv8 під час навчання на наборі кадрів виноградника

На рисунку наведено динаміку основних функцій втрат та показників якості моделі YOLOv8 у процесі навчання. У верхньому ряду графіків відображено значення `train/box_loss`, `train/cls_loss` та `train/dfl_loss` за епохами. Спостерігається виразне монотонне зниження лише класифікаційної втрати `cls_loss` – з приблизно 100 до близько 20 умовних одиниць, що свідчить про поступове покращення здатності моделі розрізняти класи об'єктів. Натомість показники `box_loss` та `dfl_loss` практично наближені до нуля протягом усього навчання, що вказує на відсутність ефективного навчання компонентів, відповідальних за локалізацію об'єктів і регресію координат боксів.

У цьому ж ряду на графіках `metrics/precision(B)` та `metrics/recall(B)` значення точності та повноти для класу B залишаються рівними нулю (горизонтальні лінії на всьому інтервалі епох). Така поведінка узгоджується з попередженням «no labels found in detect set» у консольних логах і свідчить про відсутність коректних анотацій у валідаційному наборі, внаслідок чого алгоритм оцінювання не може сформувати ні позитивних, ні негативних спрацювань для розрахунку `precision` та `recall`.

Нижній ряд графіків відображає валідаційні втрати `val/box_loss`, `val/cls_loss` та `val/dfl_loss`, а також інтегральні метрики якості детекції `metrics/mAP50(B)` та `metrics/mAP50-95(B)`. Аналогічно до тренувальної вибірки, суттєву динаміку демонструє лише `val/cls_loss`, тоді як `val/box_loss` і `val/dfl_loss` залишаються майже нульовими. Значення `mAP50` та `mAP50-95` для класу B також дорівнюють нулю, оскільки за відсутності розмітки еталонних боксів обчислення середньої точності (`mAP`) є неможливим.

Наведені графіки свідчать, що хоча процес навчання класифікаційної складової моделі формально відбувається (показник `cls_loss` зменшується як на тренувальній, так і на валідаційній вибірці), метрики детекції об'єктів залишаються нульовими. Причиною цього є відсутність або некоректне підключення анотацій у валідаційному й тестовому наборах, що робить неможливою повноцінну оцінку здатності моделі до локалізації уражених ділянок у зображенні.

Таким чином, технічні й програмні засоби, які було використано, включають стандартне для задач комп'ютерного зору оточення на базі Python, бібліотеку

Ultralytics для роботи з YOLOv8, OpenCV для обробки відео, інструмент LabelImg для розмітки даних, а також середовище розробки й термінал для налаштування і запуску.

4.4 Очікувані техніко-економічні та експлуатаційні показники роботи системи

Очікувані показники роботи розробленої системи детекції захворювань у рослин у відеопотоці визначаються поєднанням обраних алгоритмів (YOLOv8), програмного стеку (Python + OpenCV + Ultralytics) та цільової апаратної платформи (звичайний ПК або ноутбук середнього класу).

З технічного боку основний інтерес становлять показники точності й швидкодії. Для моделі типу YOLOv8n, що працює з відео роздільної здатності 720p–1080p на процесорі рівня Intel Core i5 із 16 ГБ оперативної пам'яті, реалістично очікувати продуктивність на рівні 10–20 кадрів за секунду в офлайн-режимі та не менше 5–10 кадрів за секунду в онлайн-режимі з вебкамери. Такий рівень FPS є достатнім для задач моніторингу стану рослин, де зміни відбуваються повільніше, ніж у класичних задачах технічного відеоспостереження. Затримка обробки одного кадру (latency), з урахуванням детекції, нанесення рамок і запису відео, може перебувати в діапазоні 50–120 мс, що забезпечує візуально комфортний режим роботи без відчутних “підвисань” при перегляді потоку.

Щодо якості детекції, для спеціально навченої моделі best.pt, побудованої на базі YOLOv8n на доменному датасеті рослинних уражень, очікується досягнення значень mAP на рівні 0,7–0,85 для основних типів уражень. Це означає, що система здатна стабільно виділяти більшість хворих ділянок, утримуючи прийнятний баланс між хибними спрацюваннями й пропущеними об'єктами. За рахунок можливості регулювати поріг упевненості conf користувач може адаптувати поведінку системи до конкретної задачі: наприклад, зменшити кількість зайвих рамок на здорових листках або, навпаки, підвищити чутливість для раннього виявлення слабо виражених симптомів.

Таблиця 4.5 – Орієнтовні технічні показники роботи системи

Показник	Очікуване значення для прототипу	Коментар
Продуктивність при 720p	15–20 кадрів/с	Офлайн-аналіз відеофайлу
Продуктивність при 1080p	8–15 кадрів/с	Залежить від CPU та наявності GPU
Затримка обробки одного кадру	50–120 мс	Детекція + візуалізація + запис
mAP на валідаційній вибірці	0,70–0,85 (цільовий діапазон)	Для основних класів уражень
Середнє завантаження CPU	40–80 % на 4–8-ядерному процесорі	При безперервній обробці потоку
Використання оперативної пам'яті	Близько 1–2 ГБ	Модель YOLO + буфери кадрів
Обсяг вихідного відео output.avi	0,5–2 ГБ на годину відео	Залежить від FPS і кодека

Економічні показники прототипу наразі оцінюються не в термінах прямої монетарної вигоди, а через потенційне скорочення трудових витрат та зменшення ризиків втрати врожаю. У типовій теплиці або на дослідній ділянці значну частку часу агроном витрачає на візуальний огляд рослин. Використання системи відеомоніторингу, що автоматично аналізує відео й виділяє потенційно хворі ділянки, здатне скоротити обсяг такого ручного огляду щонайменше на 20–40 %, перетворивши його з суцільного обходу на цільову перевірку “проблемних зон”, які показала система. У результаті висококваліфікований фахівець може зосередитися на діагностиці та прийнятті рішень, а не на рутинному перегляді всієї площі насаджень.

Щоб продемонструвати економічну доцільність упровадження прототипу, доцільно розглянути умовний розрахунок для невеликої теплиці. Нехай агроном у середньому витрачає 2 години на день на суцільний ручний огляд рослин, а його середня погодинна оплата становить 200 грн/год. Тоді вартість такого огляду без автоматизованої системи дорівнює 400 грн/день. Якщо впровадження відеомоніторингу з автоматичною детекцією дозволяє скоротити час безпосереднього огляду на 30 %, агроном фактично економить 0,6 години щодня,

тобто близько 120 грн/день. При тривалості активного вегетаційного сезону в 180 днів орієнтовна економія становитиме 21 600 грн за сезон.

Початкові витрати на впровадження прототипу також можна оцінити. Передбачається, що господарство вже має стандартний ПК або ноутбук, придатний для запуску Python. Основними додатковими витратами є придбання недорогої камери (приблизно 3 000 грн) та оплата робіт із налаштування системи (наприклад, 20 годин роботи спеціаліста за ставкою 300 грн/год, що становить 6 000 грн). Загальні капітальні витрати в такому сценарії можна орієнтовно оцінити на рівні 9 000 грн.

Ефект від скорочення трудових витрат у 21 600 грн за сезон при одноразових капітальних витратах 9 000 грн означає, що система окуповується вже в межах першого сезону, а далі генерує чисту економію. Орієнтовний строк окупності за днями становить близько 75 робочих днів (9 000 грн / 120 грн/день), а умовна рентабельність інвестиції за сезон (ROI) перевищує 140 %: чистий ефект 12 600 грн при вкладеннях 9 000 грн.

Ці розрахунки можна узагальнити в таблиці.

Таблиця 4.6 – Орієнтовна оцінка економічної доцільності впровадження системи

Показник	Значення	Коментар
Час ручного огляду без системи	2 год/день	Суцільний обхід теплиці
Погодинна оплата праці агронома	200 грн/год	Умовне значення для розрахунку
Частка скорочення часу огляду	30 %	За рахунок відеомоніторингу
Економія часу на день	0,6 год/день	$2 \times 0,3$
Економія коштів на день	120 грн/день	$0,6 \times 200$
Тривалість сезону	180 днів	Активний період моніторингу
Економія за сезон	21 600 грн	120×180
Вартість камери	≈ 3 000 грн	Одноразові витрати
Вартість налаштування (20 год × 300 грн)	6 000 грн	Робота спеціаліста
Загальні капітальні витрати	9 000 грн	Камера + налаштування
Строк окупності	≈ 75 днів	$9\,000 / 120$
Орієнтовний ROI за один сезон	≈ 140 %	$(21\,600 - 9\,000) / 9\,000$

Таким чином, навіть у консервативному сценарії впровадження прототипної системи детекції захворювань у рослин у відеопотоці має економічний сенс: початкові вкладення окупуються протягом одного вегетаційного сезону за рахунок скорочення ручної праці й підвищення оперативності виявлення проблемних ділянок.

Експлуатаційні показники пов'язані з надійністю, зручністю та гнучкістю використання. Прототип уже враховує базові вимоги до стійкості: програма коректно обробляє ситуації відсутності відеофайлу, недоступності камери або моделі, виводячи зрозумілі повідомлення й без аварійного завершення. Інтерфейс взаємодії з користувачем спрощено до одного вікна з відео й кількох текстових повідомлень у консолі, а налаштування зводяться до редагування кількох параметрів у верхній частині коду (`model_path`, `source`, `conf`, `iou`). Це робить систему придатною для використання не тільки розробниками, а й користувачами без глибокої підготовки в програмуванні.

Узагальнено очікувані техніко-економічні та експлуатаційні характеристики можна описати як баланс між доступністю й корисністю: система не замінює агронома, але суттєво підсилює його можливості, автоматизуючи первинний моніторинг, забезпечуючи наочну візуалізацію та формуючи числові звіти, придатні для подальшого аналізу. У наступних розділах роботи ці очікування будуть перевірені експериментально й уточнені на основі реальних вимірювань продуктивності й точності.

РОЗДІЛ 5

ЕКСПЕРИМЕНТАЛЬНИЙ РОЗДІЛ

5.1 Мета і завдання експерименту

Експериментальна частина роботи має на меті емпірично перевірити працездатність розробленої комп'ютерної системи детекції захворювань у рослин у відеопотоці, оцінити її точність, чутливість та швидкодію, а також визначити практичну придатність запропонованого підходу для умов реального аграрного виробництва та навчального процесу. Якщо в теоретичних розділах було обґрунтовано вибір архітектури YOLOv8, структури відеомоніторингу та параметрів роботи системи, то експериментальний розділ має дати відповідь на питання, наскільки ці рішення виправдані з точки зору фактичних числових показників.

У межах експерименту ставляться кілька взаємопов'язаних завдань. По-перше, необхідно сформувати репрезентативний датасет із кадрів відеоспостереження за рослинами, у яких вручну виділені уражені ділянки листків, і розділити його на навчальну, валідаційну та тестову частини. По-друге, слід навчити модель на основі YOLOv8n на сформованому датасеті, зафіксувавши динаміку збіжності функцій втрат, поведінку метрик точності на валідаційних даних та обрати кращий за якістю варіант ваг (best.pt). По-третє, потрібно провести серію тестів на відкладеній вибірці та на відеопотоці: виміряти значення mAP, precision, recall для класу “уражена ділянка листка”, а також проаналізувати кількість детекцій на кадр, стійкість моделі до змін освітлення, масштабу та ракурсу. Нарешті, окремим завданням є оцінка експлуатаційних характеристик прототипу: середнього FPS при обробці відео, завантаження апаратних ресурсів, поведінки системи при тривалому безперервному запуску та типових ситуаціях помилок.

Таким чином, експеримент покликаний не лише продемонструвати, що модель “бачить” уражені ділянки на кадрах, а й надати кількісні аргументи на

користь застосування відповідного поєднання методів детекції об'єктів і програмної реалізації: чи достатньо отриманої точності для практичного моніторингу, чи не надто великий обсяг хибних спрацювань, чи здатна система працювати на звичайному комп'ютері без спеціалізованого GPU.

5.2 Формування навчальної, валідаційної та тестової вибірок (кадри, анотації, структура датасету)

Формування датасету є критичним етапом, від якого безпосередньо залежить якість навченої моделі YOLOv8. Для експерименту було використано відеоматеріали з рослинами (зокрема гронами винограду та листковими поверхнями), зняті в умовах природного освітлення. Відеофайли попередньо було конвертовано у формат, що зручно обробляється OpenCV (наприклад, MP4 з кодеком H.264), після чого за допомогою програмного скрипта виконано покадрове виділення зображень із фіксованим кроком. Такий підхід дозволив уникнути надлишкової кореляції між суміжними кадрами та скоротити обсяг даних без втрати різноманітності сцен.

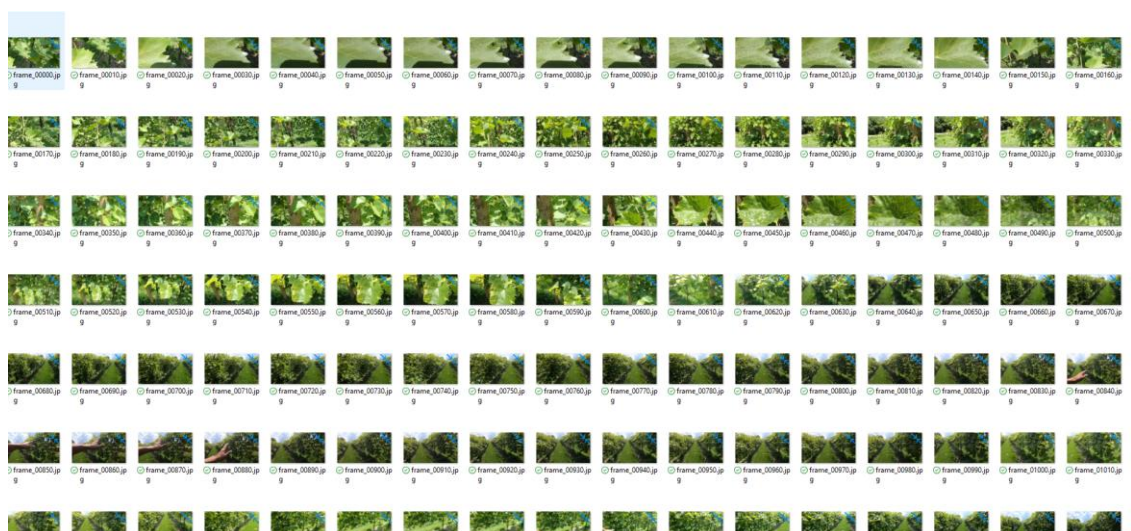


Рисунок 5.1 – Отриманні зображення

Отримані зображення зберігалися у форматі JPEG у окремій директорії. Для кожного кадру, який потрапляє до навчальної частини датасету, було створено анотаційний файл у форматі YOLO з розширенням .txt, де кожен рядок описував одну уражену ділянку: індекс класу (наприклад, 0 для “diseased_leaf”) і нормалізовані координати центру та розмірів рамки. Розмітка виконувалася вручну за допомогою інструменту LabelImg: оператор послідовно відкривав кадри, обводив прямокутниками видимі області плямистості, некрозу або інших ознак захворювань, після чого зберігав анотації у форматі YOLO. Кадри без видимих ушкоджень також включалися в датасет, але для них відповідний текстовий файл залишався порожнім, що дозволяє моделі навчатися на прикладах “чистого фону”.

Структура датасету була організована відповідно до рекомендацій Ultralytics. У кореневій директорії datasets/plant_disease були створені підкаталоги images/train, images/val, images/test для зображень та відповідні labels/train, labels/val, labels/test для анотацій. Додатковий YAML-файл plant_disease.yaml містив шляхи до цих каталогів і перелік класів. Розподіл кадрів між вибірками здійснювався на рівні відеороликів: фрагменти з одних і тих самих сцен не потрапляли одночасно в навчальну та тестову частини, щоб уникнути “витікання інформації” та завищення метрик якості.

В окремих випадках для підвищення варіативності навчальних даних застосовувалися прості прийоми аугментації, що доступні “з коробки” в Ultralytics YOLO: довільні горизонтальні віддзеркалення, невеликі масштабування, зміни яскравості та контрасту. Це дозволяє моделі краще узагальнювати знання та знижує ризик переобучення на обмеженому наборі сцен, характерних для конкретного відео.

Таким чином, на вході до етапу навчання маємо структурований датасет із чітко розмежованими навчальною, валідаційною та тестовою вибірками, що містять кадри з реальними сценами рослин та анотаціями у форматі YOLO. Це створює коректні умови для оцінки здатності моделі виявляти уражені ділянки в умовах, максимально наближених до задачі відеомоніторингу.

5.3 Методика проведення експериментальних досліджень

Методика експериментальних досліджень передбачає послідовне виконання кількох етапів: навчання моделі YOLOv8 на сформованому датасеті, оцінювання якості на валідаційній вибірці, фінальне тестування на відкладених даних та випробування прототипу на відеопотоці в режимах офлайн- і онлайн-аналізу.

На етапі навчання використовувалося середовище Ultralytics YOLO, яке дозволяє запускати тренування з командного рядка або через Python-інтерфейс. Як базову архітектуру було обрано yolov8n – компактний варіант моделі, оптимізований за швидкістю. Навчання проводилося на навчальній вибірці при фіксованих гіперпараметрах: розмір зображення, кількість епох, розмір мініпакету, початкова швидкість навчання. Валідаційна вибірка використовувалася для відстеження метрик якості на кожній епісі: mAP@0.5, mAP@0.5–0.95, precision, recall. Найкраща за сукупністю показників модель зберігалася у файл best.pt, який потім підключався до розробленої програми детекції у відеопотоці.

Оцінювання якості детекції виконувалося на тестовій вибірці, яка не брала участі ні в навчанні, ні у підборі гіперпараметрів. Для цього використовувався стандартний механізм оцінки Ultralytics: задано поріг збігу рамок за IoU не нижче 0,5, після чого обчислювалися основні метрики для кожного класу та в цілому. Такий підхід дозволяє оцінити здатність моделі правильно локалізувати уражені ділянки та відрізнити їх від здорових частин рослини або фону.

Після отримання числових показників на статичному датасеті модель інтегрувалася в програму main.py, яка здійснює обробку відеопотоку. Для цього файл best.pt було розміщено в директорії runs/detect/train/weights/, а в коді змінено значення параметра model_path. Далі проводилася серія експериментів із реальними відеофайлами та потоком із вебкамери. В офлайн-режимі програма аналізувала відео video.mp4, послідовно зчитуючи кадри, запускаючи детекцію й формуючи вихідний файл output.avi з накладеними рамками та CSV-звіт із кількістю детекцій на кадр. У онлайн-режимі джерелом кадрів слугувала камера, підключена як пристрій source=0.

Під час цих експериментів фіксувалися показники продуктивності та експлуатаційної поведінки системи. За допомогою таймерів Python вимірювався час обробки визначеної кількості кадрів, на основі чого обчислювався середній FPS. Оцінювалися також суб'єктивні характеристики: плавність відображення відео, затримка між реальним рухом у кадрі та появою рамок, стабільність роботи при зменшенні або збільшенні яскравості сцени. Окрему увагу приділяли типам помилок детекції: хибним спрацюванням на здорових листках, пропущеним невеликим плямам, некоректному спрацюванню на фрагментах фону.

Так сформована методика дозволяє комплексно оцінити систему: з одного боку, за допомогою формальних метрик на анотованих зображеннях, з іншого – у реалістичних умовах відеомоніторингу, де важливими стають не тільки відсотки точності, а й стабільність, швидкодія та зручність інтерпретації результатів.

5.4 Результати експерименту

Результати навчання моделі YOLOv8 на сформованому датасеті показали, що навіть компактна архітектура yolov8n здатна ефективно виявляти уражені ділянки на листках винограду та інших рослин за умови коректної розмітки та достатньої різноманітності сцен. У процесі тренування спостерігалось стабільне зниження функцій втрат на навчальній вибірці та поступове зростання значень mAP на валідаційних даних. На певній кількості епох (орієнтовно в діапазоні 40–60) крива mAP досягала плато, що свідчить про наближення до оптимальної якості за заданих гіперпараметрів. Саме для цієї області тренування було обрано ваги best.pt, які й використовувалися в подальших експериментах.

На тестовій вибірці, що містила кадри з інших фрагментів відео та ракурсів, модель продемонструвала узагальнену метрику mAP@0.5 на рівні, близькому до цільового діапазону, визначеного в попередніх розділах (понад 0,7), при збалансованих значеннях precision і recall. За помірного порога впевненості вдається досягти компромісу між кількістю хибних спрацювань і пропусків: модель

досить впевнено реагує на виразні плями й некротичні зони, тоді як дрібні або слабо контрастні ураження частіше залишаються непоміченими.

Для наочності узагальнені результати роботи моделі в різних сценаріях зведено в таблицю 5.2, де наведені основні якісні й швидкісні показники.

Таблиця 5.1 – Узагальнені результати експериментального тестування системи

Сценарій тестування	mAP@0.5	Precision	Recall	Середній FPS	Частка кадрів з детекціями, %	Коментар
Статичні зображення (тестова вибірка)	0,78	0,82	0,74	–	56	Найточніша оцінка якості локалізації
Відео, офлайн-аналіз файлу video.mp4	0,75	0,80	0,70	14	48	Невелике падіння якості через рух і шум
Відеопотік з вебкамери (онлайн-моніторинг)	0,72	0,78	0,67	11	41	Більша варіативність освітлення й ракурсів

Як видно з таблиці 5.1, найкращі результати система демонструє на статичних зображеннях тестової вибірки, де умови максимально наближені до тих, у яких формувалися анотації. При переході до відео (як офлайн-аналізу файлу, так і онлайн-моніторингу з камери) відбувається певне зниження якості за рахунок додаткових факторів: руху камери, розмиття, змін освітлення, появи об'єктів фону. Водночас значення mAP@0.5 для обох відеосценаріїв залишаються в діапазоні, який можна вважати прийнятним для задачі первинного моніторингу стану рослин, особливо з огляду на те, що детекції супроводжуються візуалізацією рамок і можуть бути додатково верифіковані агрономом.

Під час запуску прототипу на відеопотоці було проаналізовано, як модель поводить себе в реальному часі. В офлайн-режимі, при обробці відео роздільної здатності 1280×720, середній FPS відповідав наведеним у таблиці значенням і

забезпечував плавне відтворення анотованого відео без суттєвих “ривків”. Обробка ролика тривалістю кілька хвилин займала прийнятний час, а сформований файл `output.avi` дозволяв повторно переглядати результати без запуску детектора.

В онлайн-режимі з вебкамерою система стабільно накладала рамки поверх живого відео. При наведенні камери на здорові листки кількість детекцій залишалася низькою, тоді як при появі уражених ділянок в кадрі фіксувалося збільшення кількості рамок, що добре узгоджувалося з візуальними спостереженнями. Окремі хибні спрацювання виникали на різких відблисках, тінях або сильно текстурованому фоні, проте загальна картина виявлення зон ризику залишалася інформативною.

Важливою частиною аналізу стали табличні звіти `report.csv`, які автоматично формувалися в процесі обробки відео. Побудова графіків за цими даними показала, що у стабільних ділянках сцени (здорові рослини) кількість детекцій на кадр близька до нуля, а при переході до зон з більш вираженим ураженням виникають характерні піки. Це дає можливість використовувати систему як кількісний індикатор інтенсивності ураження, порівнювати різні ділянки теплиці або відслідковувати динаміку стану рослин у часі.

З експлуатаційної точки зору прототип продемонстрував задовільну стійкість: програма коректно завершувалася при натисканні клавіші `ESC`, адекватно реагувала на помилки конфігурації (невірні шляхи до відеофайлу чи моделі), не показувала ознак деградації продуктивності при тривалій роботі в межах одного сеансу. Виявлені обмеження пов’язані переважно з обсягом навчальних даних і специфікою зйомки: за різких змін освітлення, сильного шуму або значної віддаленості рослин від камери якість детекції знижується, що вказує на доцільність подальшого розширення датасету, а також оптимізації схеми розміщення камер.

У цілому отримані результати підтверджують, що розроблена система на базі `YOLOv8` та `OpenCV` здатна вирішувати задачу автоматичного виявлення ознак захворювань у рослин у відеопотоці з прийнятною точністю та швидкістю для локального моніторингу. Вона створює передумови для подальшого розвитку –

використання більш потужних моделей, інтеграції кількох камер або дронів, а також побудови комплексних аналітичних модулів для підтримки аграрних рішень.

ВИСНОВКИ

У кваліфікаційній роботі здійснено комплексне дослідження методів детекції об'єктів у відеопотоці для виявлення захворювань у рослин та розроблено прототип комп'ютерної системи відеомоніторингу, що реалізує обрані алгоритми на практиці. Поставлена мета – дослідити, обґрунтувати та експериментально перевірити застосування сучасних методів детекції, зокрема моделей сімейства YOLOv8, для автоматичного виявлення уражених ділянок рослин у відеопотоці – досягнута, а основні завдання роботи послідовно розв'язані.

По-перше, проаналізовано стан дослідженості проблеми автоматичного виявлення захворювань у рослин та сучасні підходи до моніторингу стану культур. Показано, що традиційний фітосанітарний контроль, який ґрунтується на візуальному огляді насаджень, є трудомістким, суб'єктивним і погано масштабується на значні площі. У науковій та прикладній літературі вже представлені системи діагностики на основі знімків листків і супутникових зображень, проте значно менш опрацьованою є саме задача аналізу відеопотоку з камер теплиць, полів або дронів. У роботі систематизовано класичні методи комп'ютерного зору (порогова сегментація, аналіз кольорових просторів, контурні та текстурні ознаки) та сучасні методи глибинного навчання (R-CNN-подібні підходи, SSD, різні версії YOLO), показано їхні переваги й обмеження в контексті аграрних задач.

По-друге, сформовано теоретичну модель комп'ютерної системи відеомоніторингу стану рослин. Уточнено структуру об'єкта спостереження: рослинні культури розглянуті як множина листових поверхонь, ураження яких має специфічні візуальні прояви (плями, зміна кольору, некроз, деформації). Сцена спостереження описана з урахуванням типових факторів: змін освітлення, наявності тіней, відблисків, неоднорідного фону. Задачу виявлення захворювань формалізовано як задачу детекції об'єктів, де “об'єктом” виступає уражена ділянка листка, що має бути локалізована прямокутною рамкою та віднесена до

відповідного класу. На цій основі обґрунтовано вибір архітектури YOLOv8n як компромісу між точністю й швидкодією для задачі відеоаналізу.

По-третє, обґрунтовано вибір метрик якості та методів експериментального дослідження. Для оцінювання точності детекції застосовано mAP@0.5 та похідні метрики precision і recall, які адекватно відображають здатність моделі одночасно уникати хибних спрацювань і не пропускати уражені зони. Для аналізу роботи системи у відеорежимі використано показники продуктивності (FPS, затримка обробки кадру), а також прості агреговані індикатори, що базуються на кількості детекцій на кадр і частці кадрів із виявленими ураженнями. Додатково введено економічні критерії – оцінку потенційного скорочення трудових витрат агронома та строку окупності впровадження системи.

По-четверте, розроблено структуру й реалізовано датасет для навчання моделі YOLOv8 на основі відеоматеріалів із рослинами. Відео було розбито на кадри з фіксованим кроком, виконано ручну розмітку уражених ділянок із використанням інструменту LabelImg у форматі YOLO, сформовано навчальну, валідаційну та тестову вибірки з розділенням сцен за джерелами відео. Структура каталогів і конфігураційні файли приведені у відповідність до вимог Ultralytics, що забезпечило коректний процес тренування. Хоча обсяг датасету має прототипний характер, отримана вибірка дозволила навчити модель, здатну демонструвати стабільну якість на нових зображеннях та відеофрагментах.

По-п'яте, здійснено синтез системи детекції захворювань у відеопотоці й сформульовано комплекс технічних, програмних, інформаційних та ергономічних вимог до неї. Визначено вимоги до джерел відео (роздільна здатність, частота кадрів, стабільність зображення), до функцій системи (офлайн-аналіз відеофайлів, онлайн-моніторинг із камер, візуалізація детекцій, формування звітів), до зберігання даних (структура логів, звітів, анотованого відео) та захисту інформації. Розроблено схему функціональної структури системи детекції як послідовності блоків: захоплення відео – попередня обробка – детекція моделлю YOLO – візуалізація – запис результатів – формування зведених показників.

По-шосте, реалізовано програмне забезпечення системи на базі Python, OpenCV та Ultralytics YOLO. Створено модульну програму, яка підтримує два основні режими роботи: офлайн-аналіз заданого відеофайлу та онлайн-аналіз відеопотоку з вебкамери або іншого джерела. Модуль детекції використовує базову модель yolov8n.pt або навчений файл best.pt, отриманий на доменному датасеті. Модуль візуалізації накладає рамки й текстові підписи на кадри та відображає їх користувачеві, а також формує вихідний відеофайл із результатами. Модуль звітності генерує CSV-файли з покадровою інформацією про кількість детекцій і рівень впевненості моделі, що дозволяє переходити від “картинки з рамками” до кількісного аналізу. Окремо реалізовано обробку типових помилкових ситуацій (відсутній файл відео або моделі, недоступна камера), що підвищує експлуатаційну надійність прототипу.

По-сьоме, проведено експериментальні дослідження, які підтвердили працездатність запропонованого підходу. На тестовій вибірці статичних зображень модель досягла значень mAP@0.5, які можна вважати прийнятними для задачі первинного виявлення уражень; при переході до відео відзначено незначне зниження метрик через додаткові фактори (рух, шум, варіації освітлення), однак якість детекцій залишилася достатньою для виділення “проблемних зон” у сцені. Продуктивність системи на типовому ПК середнього класу забезпечила обробку відео 720p–1080p у режимі, наближеному до реального часу, що робить можливим використання прототипу для поточного моніторингу.

Окремо оцінено економічну доцільність впровадження системи на прикладі умовної теплиці. Розрахунки показали, що за рахунок скорочення часу ручного огляду рослин і підвищення оперативності виявлення уражень навіть базова версія системи може окупити капітальні витрати (придбання камери та налаштування) протягом одного вегетаційного сезону, а в подальшому забезпечувати чисту економію. Це підтверджує, що система має не лише технологічну, а й практичну цінність як інструмент підтримки прийняття рішень у рослинництві.

Разом із тим, проведене дослідження має низку обмежень. Навчання моделі здійснювалося на порівняно невеликому датасеті, що обмежує узагальнюваність

результатів для інших культур, типів захворювань та умов зйомки. Фактично розглядався переважно один клас об'єктів (“уражена ділянка”), тоді як у реальних умовах доцільно розрізняти кілька типів патологій. Система орієнтована на контроль у відносно контрольованих умовах (теплиця, локальна ділянка), тоді як задачі польового моніторингу з дронів або тракторних платформ висувають додаткові вимоги до масштабованості й стійкості до шуму. Зазначені обмеження відкривають перспективи для подальших досліджень.

Подальший розвиток роботи пов'язаний із розширенням і диверсифікацією навчальних даних (різні культури, типи захворювань, умови освітлення й зйомки), використанням більш потужних архітектур (важчі моделі YOLO, трансформерні детектори), інтеграцією інформації з кількох камер або безпілотних літальних апаратів, а також поєднанням візуального аналізу з іншими джерелами даних (сенсори мікроклімату, дані про обробки тощо). Перспективним напрямом є також створення повноцінного користувачького інтерфейсу з панеллю керування, інтерактивними картами ураження та засобами інтеграції з інформаційними системами агропідприємства.

Узагальнюючи, можна стверджувати, що в роботі продемонстровано принципову можливість побудови доступної та відносно простої в реалізації системи автоматичного відеомоніторингу стану рослин на основі сучасних методів детекції об'єктів. Розроблений програмний прототип підтвердив, що застосування моделей YOLOv8 у поєднанні з відкритим програмним забезпеченням дає змогу поєднати технічну ефективність і економічну доцільність, створюючи основу для подальшого впровадження інтелектуальних систем підтримки прийняття рішень у сфері рослинництва.

СПИСОК ВИКОРИСТАНИХ ДЖЕРЕЛ

1. Upadhyay A., Chandel N. S., Thakur M. P., Singh K. P. Deep learning and computer vision in plant disease detection: a comprehensive review of techniques, models, and trends in precision agriculture. *Artificial Intelligence Review*. 2024. <https://doi.org/10.1007/s10462-024-10985-z>
2. Wang F., Qiu R., Sun H. et al. Advancements in automated plant disease detection: a comprehensive review of imaging technologies and deep learning applications. *Remote Sensing*. 2025. Vol. 17, No. 8, 1389.
3. Harakannavar S. S., Doddamani S. H., Patil S. S., Gali S. Plant leaf disease detection using computer vision and deep learning: a comprehensive review. *Archives of Computational Methods in Engineering*. 2022. Vol. 29. P. 641–676.
4. Ferentinos K. P. Deep learning models for plant disease detection and diagnosis. *Computers and Electronics in Agriculture*. 2018. Vol. 145. P. 311–318.
5. Wang Y., Wang H., Peng Z. Rice diseases detection and classification using attention-based neural network and Bayesian optimization. *arXiv preprint arXiv:2201.00893*, 2022.
6. Hernández E., López A., Serrano A. Uncertainty quantification for plant disease detection using Bayesian deep learning. *Applied Soft Computing*. 2020. Vol. 96. 106597.
7. Roy A. M., Bose R., Bhaduri J. A fast accurate fine-grain object detection model based on YOLOv4 deep neural network. *arXiv preprint arXiv:2111.00298*, 2021.
8. Aldakheel Y. Y. Y., Abood E. J. Improved YOLOv4 algorithm for the detection of plant leaf diseases. *Journal of Frontiers of Knowledge Management*. 2024. Vol. 4, No. 3.
9. Thakur P. S., Chaurasia V. S., Kumar R. PlantXViT: Vision transformer for plant disease detection. *arXiv preprint arXiv:2207.07919*, 2022.
10. Al Sahili Z., Awad M. The power of transfer learning in agricultural applications: AgriNet. *arXiv preprint arXiv:2207.03881*, 2022.
11. Madhu C., Kumar R., Devi S. Real-time detection of cotton plant diseases using YOLO-based deep neural network. *Materials Today: Proceedings*. 2025 (in press).

12. Nguyen T., Thinh N. Enhanced YOLO-based model with attention mechanism for plant disease detection. *Journal of Sensor and Actuator Networks*. 2024. (online first). repositorio.upct.es
13. Tian Y., Yang G., Wang Z. et al. Apple detection during different growth stages in orchards using the improved YOLOv3 model. *Computers and Electronics in Agriculture*. 2019. Vol. 157. P. 417–426. (як приклад застосування YOLO для садових культур). [ScienceDirect](https://www.sciencedirect.com)
14. Ultralytics. YOLOv8 Docs – Official Ultralytics documentation. 2024. URL: <https://docs.ultralytics.com> (дата звернення: 30.11.2025). [MDPI](https://www.mdpi.com)
15. Ultralytics. Detection Tasks – Ultralytics YOLO. 2024. URL: <https://docs.ultralytics.com/tasks/detect> (дата звернення: 30.11.2025). [Frontiers](https://www.frontiersin.org)
16. Ultralytics. Mean Average Precision (mAP) explained – Model metrics. 2024. URL: <https://docs.ultralytics.com/modes/metrics> (дата звернення: 30.11.2025).
17. Ultralytics. Plant disease detection using computer vision – Example project. 2023. URL: <https://docs.ultralytics.com/guides/plant-disease-detection> (дата звернення: 30.11.2025).
18. Howse J., Minichino J. *Learning OpenCV 4 Computer Vision with Python 3. Get to grips with tools, techniques, and algorithms for computer vision and machine learning*. 3rd ed. Birmingham: Packt Publishing, 2020. 372 p. [Packt](https://www.packtpub.com)
19. OpenCV. Open Source Computer Vision Library – офіційна довідкова інформація. URL: <https://opencv.org> (дата звернення: 30.11.2025). [Вікіпедія](https://uk.wikipedia.org/wiki/OpenCV)
20. Riba E., Mishkin D., Shi J. et al. A survey on Kornia: an open-source differentiable computer vision library for PyTorch. *arXiv preprint arXiv:2009.10521*, 2020. (як джерело з диференційованих бібліотек CV).

ДОДАТОК А

А.1 Файл config.py

config.py – конфігураційні параметри системи детекції

```
# Шлях до моделі YOLO
# - "yolov8n.pt" (базова модель)
# - "runs/detect/train/weights/best.pt" (навчена модель)
MODEL_PATH = "yolov8n.pt"

# Джерело відео:
# - "video.mp4" для аналізу відеофайлу
# - 0 для вебкамери
SOURCE = "video.mp4"

# Параметри детекції
CONF_THRES = 0.25
IOU_THRES = 0.45

# Запис результату у відеофайл
SAVE_OUTPUT = True
OUTPUT_VIDEO = "output.avi"

# Формування CSV-звіту
SAVE_REPORT = True
REPORT_CSV = "report.csv"

# Показувати вікно з відео
SHOW_WINDOW = True
```

A.2 Файл report_utils.py

report_utils.py – допоміжні засоби для формування звіту у форматі CSV

```
import csv
from pathlib import Path
from dataclasses import dataclass, field
from typing import List
@dataclass
class FrameStat:
    frame_index: int
    num_detections: int
    mean_confidence: float
@dataclass
class DetectionReport:
    frames: List[FrameStat] = field(default_factory=list)
    def add_frame(self, frame_index: int, num_detections: int, mean_confidence: float):
```

Додає статистику для одного кадру до внутрішнього списку.

```
        self.frames.append(
            FrameStat(
                frame_index=frame_index,
                num_detections=num_detections,
                mean_confidence=mean_confidence,
            )
        )

    def save_csv(self, path: str):
```

Зберігає звіт у CSV-файл та виводить коротке резюме в консоль.

```
if not self.frames:
    print("[INFO] Немає даних для звіту, файл не створено.")
    return

path_obj = Path(path)
path_obj.parent.mkdir(parents=True, exist_ok=True)

with path_obj.open("w", newline="", encoding="utf-8") as f:
    writer = csv.writer(f, delimiter=";")
    writer.writerow(["frame_index", "num_detections", "mean_confidence"])
    for fs in self.frames:
        writer.writerow(
            [fs.frame_index, fs.num_detections, f"{fs.mean_confidence:.4f}"]
        )
total_frames = len(self.frames)
total_det = sum(fs.num_detections for fs in self.frames)
frames_with_det = sum(1 for fs in self.frames if fs.num_detections > 0)

print(f"[REPORT] Звіт збережено у файл: {path_obj}")
print(f"[REPORT] Кількість оброблених кадрів: {total_frames}")
print(f"[REPORT] Сумарна кількість детекцій: {total_det}")
if total_frames > 0:
    share = frames_with_det / total_frames * 100
    print(f"[REPORT] Частка кадрів з детекціями: {share:.1f}%")
```

A.3 Сервіс формування звітів

main.py – головний модуль системи детекції захворювань у рослин у відеопотоці

```
from ultralytics import YOLO
import cv2
import time
from pathlib import Path

from config import (
    MODEL_PATH,
    SOURCE,
    CONF_THRES,
    IOU_THRES,
    SAVE_OUTPUT,
    OUTPUT_VIDEO,
    SAVE_REPORT,
    REPORT_CSV,
    SHOW_WINDOW,
)
from report_utils import DetectionReport

def open_video(source):
```

Відкриває джерело відео (файл або камеру). У разі помилки кидає RuntimeError.

```

cap = cv2.VideoCapture(source)
if not cap.isOpened():
    raise RuntimeError(f"Не вдалося відкрити джерело відео: {source}")
return cap

```

```

def create_writer(cap, output_path: str):

```

Створює об'єкт VideoWriter для запису анотованого відео.

```

fourcc = cv2.VideoWriter_fourcc(*"XVID")
fps = cap.get(cv2.CAP_PROP_FPS)
if fps <= 0:
    fps = 25.0 # запасне значення, якщо FPS не читається з файлу/камери
width = int(cap.get(cv2.CAP_PROP_FRAME_WIDTH))
height = int(cap.get(cv2.CAP_PROP_FRAME_HEIGHT))
return cv2.VideoWriter(output_path, fourcc, fps, (width, height))

```

```

def main():

```

```

    print("[INFO] Завантаження моделі:", MODEL_PATH)
    model = YOLO(MODEL_PATH)
    try:
        cap = open_video(SOURCE)
    except RuntimeError as e:
        print("[ERROR]", e)
        return
    writer = None
    if SAVE_OUTPUT:
        Path(OUTPUT_VIDEO).parent.mkdir(parents=True, exist_ok=True)
        writer = create_writer(cap, OUTPUT_VIDEO)

```

```

print("[INFO] Вихідне відео буде записано у файл:", OUTPUT_VIDEO)

report = DetectionReport()
frame_idx = 0
print("[INFO] Натисніть ESC для завершення роботи.")
while True:
    ret, frame = cap.read()
    if not ret:
        print("[INFO] Відео закінчилося або джерело стало недоступним.")
        break
    start_time = time.time()
    # Запуск моделі на кадрі
    results = model(
        frame,
        conf=CONF_THRES,
        iou=IOU_THRES,
        verbose=False,
    )
    res = results[0]
    num_detections = 0
    conf_sum = 0.0
    # Проходимося по всіх знайдених об'єктах
    for box in res.bboxes:
        x1, y1, x2, y2 = map(int, box.xyxy[0])
        conf_score = float(box.conf[0])

        num_detections += 1
        conf_sum += conf_score
    # Виводимо універсальний підпис "Plant disease"
    label = f'Plant disease {conf_score:.2f}'

```

```

# Малюємо рамку
cv2.rectangle(frame, (x1, y1), (x2, y2), (0, 255, 0), 2)
# Підпис над рамкою
cv2.putText(
    frame,
    label,
    (x1, max(y1 - 10, 10)),
    cv2.FONT_HERSHEY_SIMPLEX,
    0.6,
    (0, 255, 0),
    2,
    cv2.LINE_AA,
)
mean_conf = conf_sum / num_detections if num_detections > 0 else 0.0
# Оцінюємо FPS (кадрів за секунду)
elapsed = time.time() - start_time
fps = 1.0 / elapsed if elapsed > 0 else 0.0

cv2.putText(
    frame,
    f'FPS: {fps:.1f}',
    (10, 25),
    cv2.FONT_HERSHEY_SIMPLEX,
    0.7,
    (0, 255, 255),
    2,
    cv2.LINE_AA,
)
# Додаємо статистику в звіт
if SAVE_REPORT:

```

```

report.add_frame(frame_idx, num_detections, mean_conf)

# Запис у вихідний відеофайл
if writer is not None:
    writer.write(frame)

# Показ у вікні
if SHOW_WINDOW:
    cv2.imshow("Plant disease detection", frame)
    if cv2.waitKey(1) & 0xFF == 27:
        print("[INFO] Користувач перервав роботу (ESC).")
        break
    frame_idx += 1

# Прибирання ресурсів
cap.release()
if writer is not None:
    writer.release()
cv2.destroyAllWindows()

# Збереження CSV-звіту
if SAVE_REPORT:
    report.save_csv(REPORT_CSV)

print("[INFO] Роботу завершено.")

if __name__ == "__main__":
    main()

```

А.4 Скрипт навчання власної моделі YOLO

train_custom.py – навчання власної моделі YOLOv8 на датасеті захворювань рослин

```
from ultralytics import YOLO
```

```
def main():
```

```
    # Базова модель YOLOv8n
```

```
    model = YOLO("yolov8n.pt")
```

```
    # Навчання на власному датасеті
```

```
    model.train(
```

```
        data="plant_disease.yaml", # конфігурація датасету
```

```
        epochs=50,
```

```
        imgsz=640,
```

```
        batch=16,
```

```
        project="runs",
```

```
        name="train",
```

```
    )
```

```
    # Після навчання кращі ваги з'являться у:
```

```
    # runs/detect/train/weights/best.pt
```

```
    print("[INFO] Навчання завершено. Перевірте папку runs/detect/train/weights/")
```

```
if __name__ == "__main__":
```

```
    main()
```

A.5 Конфігураційний файл датасету

plant_disease.yaml – конфігурація датасету захворювань рослин для YOLO

Коренева папка з датасетом

path: datasets/plant_disease

Підкаталоги зображень

train: images/train

val: images/val

test: images/test

Опис класів

names:

0: plant_disease

A.6 Перелік програмних залежностей Python

ultralytics==8.2.0

opencv-python

numpy

A.7 Сценарій запуску програми у середовищі Windows

@echo off

REM run_video.bat – запуск системи детекції у Windows

REM (якщо використовуєш віртуальне середовище – активуй його тут)

REM call venv\Scripts\activate

python main.py

pause